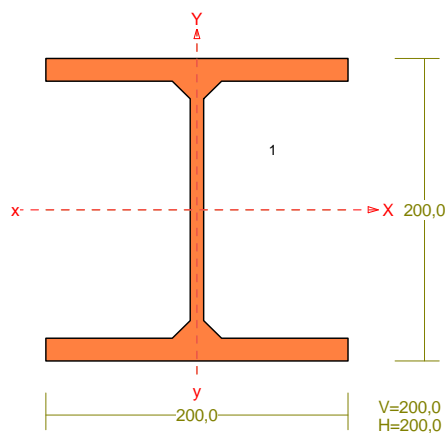


RM_Win v. 11.105

NAZWA: Ełk, Krzemowa rama skrajna w osi J 17.08.2021

PRZEKRÓJ Nr: 1

Nazwa: "I 200 HEB"



Skala 1:5

CHARAKTERYSTYKA PRZEKROJU: Materiał: 66 St3S (X,Y,V,W)

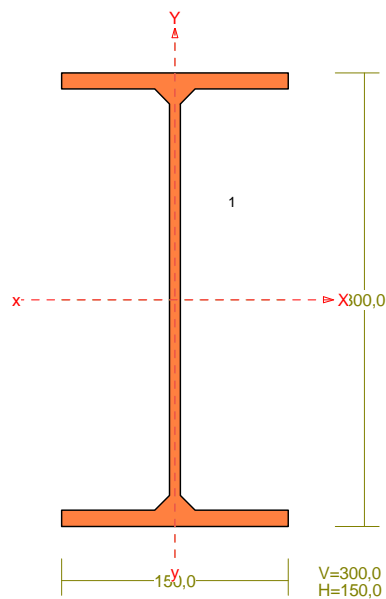
Gł.centrosie bezwładn. [cm]:	Xc= 10,0	Yc= 10,0
Momenty bezwładności [cm ⁴]:	Jx= 5700,0	Jy= 2000,0
Moment dewiacji [cm ⁴]:		Dxy= 0,0
Gł.momenty bezwładn. [cm ⁴]:	Ix= 5700,0	Iy= 2000,0
Promienie bezwładności [cm]:	ix= 8,5	iy= 5,1
Wskaźniki wytrzymał. [cm ³]:	Wx= 570,0	Wy= 200,0
	Wx= -570,0	Wy= -200,0
Powierzchnia przek. [cm ²]:		F= 78,1
Masa [kg/m]:		m= 61,3
Moment bezwładn.dla zginania w płaszcz.ukł. [cm ⁴]:		Jzg= 5700,0

Nr.	Oznaczenie	Fi:	Xs:	Ys:	Sx:	Sy:	F:
-----	------------	-----	-----	-----	-----	-----	----

		[deg]	[cm]	[cm]	[cm ³]	[cm ³]	[cm ²]
1	I 200 HEB	0	0,00	0,00	0,0	0,0	78,1

PRZEKRÓJ Nr: 2

Nazwa: "I 300 PE"



Skala 1:5

CHARAKTERYSTYKA PRZEKROJU:

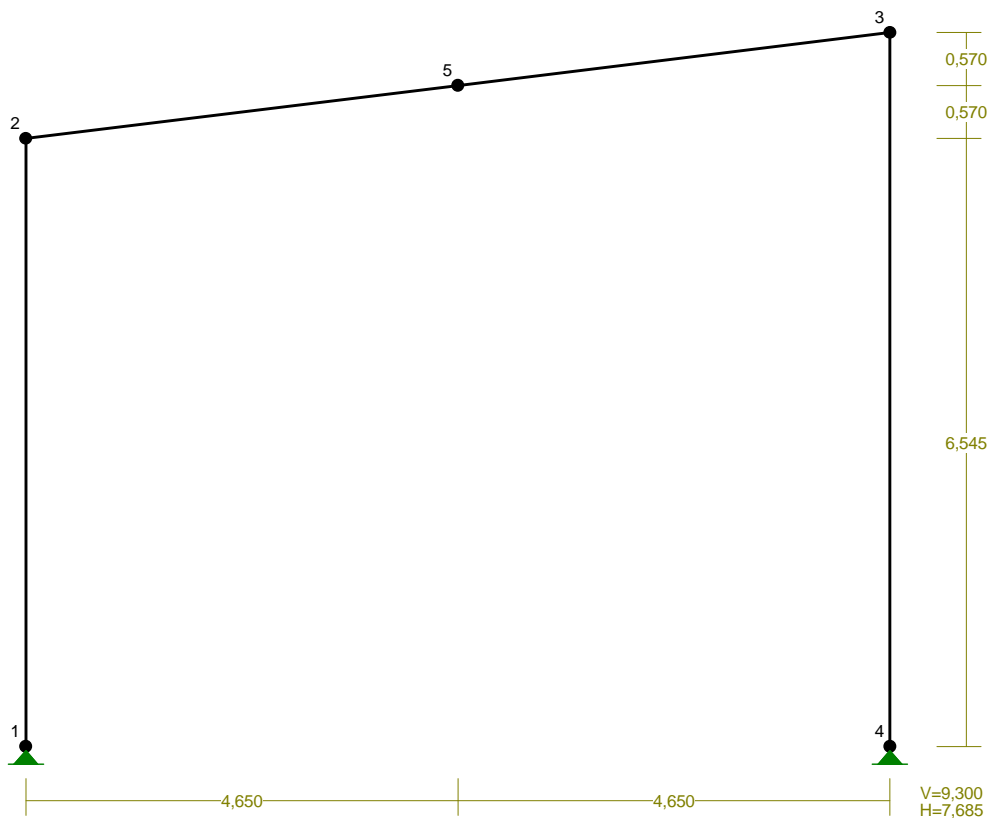
Materiał: 66 St3S (X,Y,V,W)

Gł.centrosie bezwładn.[cm]:	Xc=	7,5	Yc=	15,0
			alfa=	0,0
Momenty bezwładności [cm ⁴]:	Jx=	8360,0	Jy=	604,0
Moment dewiacji [cm ⁴]:			Dxy=	0,0
Gł.momenty bezwładn. [cm ⁴]:	Ix=	8360,0	Iy=	604,0
Promienie bezwładności [cm]:	ix=	12,5	iy=	3,4
Wskaźniki wytrzymał. [cm ³]:	Wx=	557,3	Wy=	80,5
	Wx=	-557,3	Wy=	-80,5
Powierzchnia przek. [cm ²]:			F=	53,8
Masa [kg/m]:			m=	42,2
Moment bezwładn.dla zginania w płaszcz.ukł. [cm ⁴]:	Jzg=	8360,0		

Nr.	Oznaczenie	Fi:	Xs:	Ys:	Sx:	Sy:	F:
-----	------------	-----	-----	-----	-----	-----	----

		[deg]	[cm]	[cm]	[cm ³]	[cm ³]	[cm ²]
1	I 300 PE	0	0,00	0,00	0,0	0,0	53,8

WĘZŁY:



WĘZŁY:

Nr:	X [m]:	Y [m]:	Nr:	X [m]:	Y [m]:
1	0,000	0,000	4	9,300	0,000
2	0,000	6,545	5	4,650	7,115
3	9,300	7,685			

PODPORY:

Podatności

Węzeł:	Rodzaj:	Kąt:	Dx(Do*): [m / k N]	Dy:	DFi: [rad/kNm]

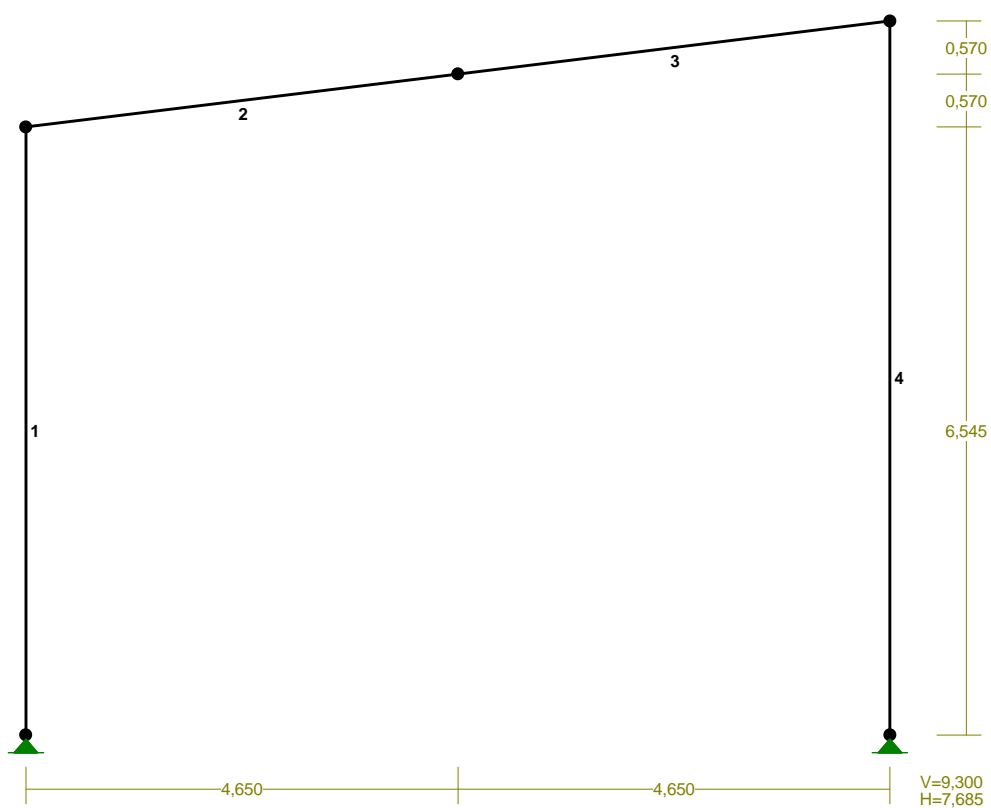
1	stała	0,0	0,0	0,0
4	stała	0,0	0,0	0,0

OSIADANIA:

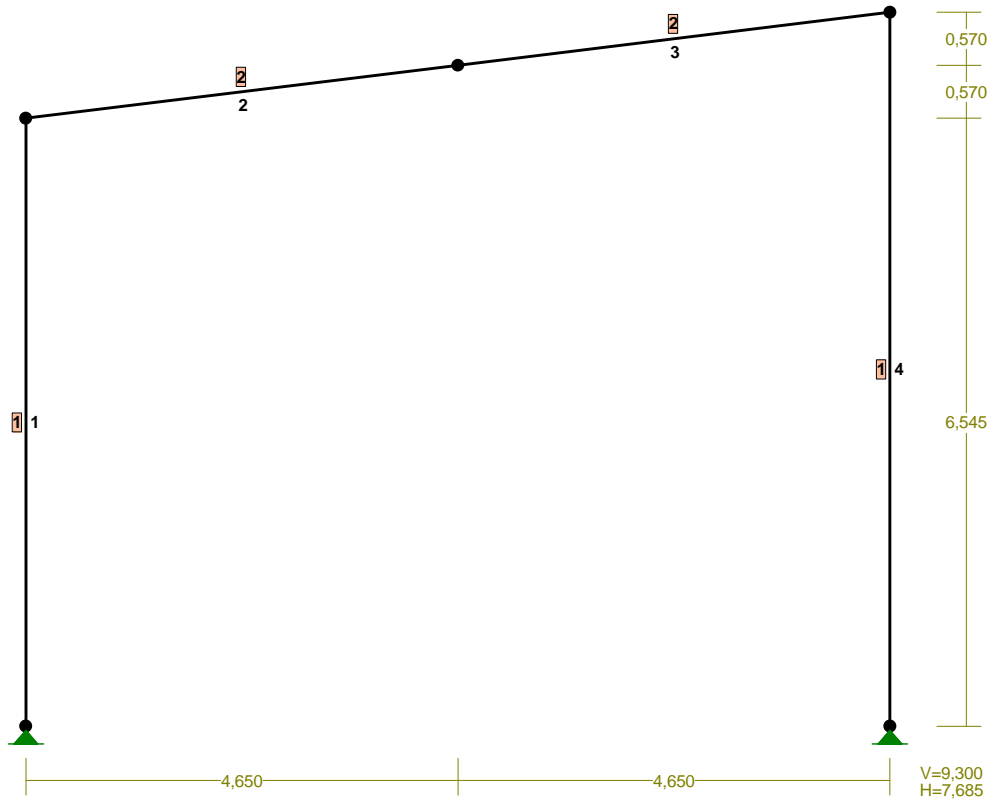
Węzeł: Kąt: Wx(Wo*) [m]: Wy[m]: FIo[grad]:

B r a k O s i a d a ń

PRĘTY:



PRZEKROJE PRĘTÓW:



PRĘTY UKŁADU:

Typy prętów: 00 - sztyw.-sztyw.; 01 - sztyw.-przegub;
 10 - przegub-sztyw.; 11 - przegub-przegub
 22 - ciągnio

Pręt:	Typ:	A:	B:	Lx[m]:	Ly[m]:	L[m]:	Red.EJ:	Przekrój:
1	00	0	1	0,000	6,545	6,545	1,000	1 I 200 HEB
2	00	1	4	4,650	0,570	4,685	1,000	2 I 300 PE
3	00	4	2	4,650	0,570	4,685	1,000	2 I 300 PE
4	00	3	2	0,000	7,685	7,685	1,000	1 I 200 HEB

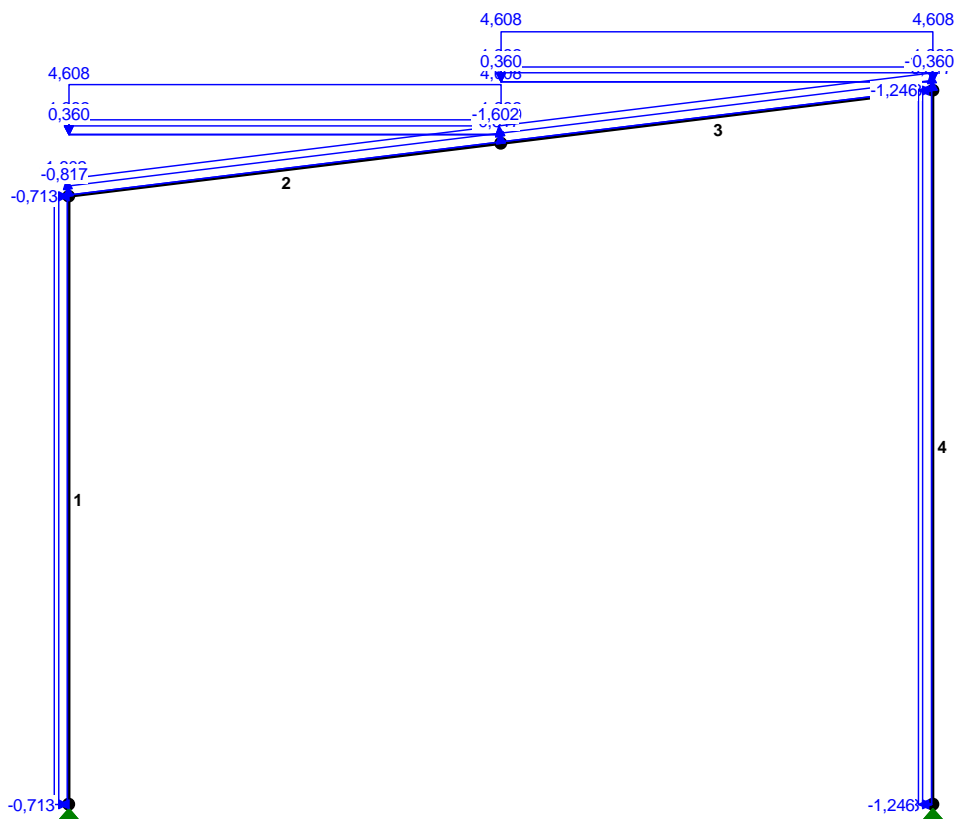
WIELKOŚCI PRZEKROJOWE:

Nr.	A[cm ²]	Ix[cm ⁴]	Iy[cm ⁴]	Wg[cm ³]	Wd[cm ³]	h[cm]	Materiał:
1	78,1	5700	2000	570	570	20,0	66 St3S (X,Y,V,W)
2	53,8	8360	604	557	557	30,0	66 St3S (X,Y,V,W)

STAŁE MATERIAŁOWE:

Material:	Moduł E: [kN/mm ²]	Napręż.gr.: [N/mm ²]	AlfaT: [1/K]
66 St3S (X,Y,V,	205	205,000	1,2E-5

OBCIĄŻENIA:



OBCIĄŻENIA: ([kN], [kNm], [kN/m])

Pręt:	Rodzaj:	Kąt:	P1(Tg):	P2(Td):	a[m]:	b[m]:
Grupa:	CW "Ciężar własny"			Stałe	γf= 1,10	
Grupa:	A "Płyty, płatwie, stężenia"			Stałe	γf= 1,20	
1	Liniowe	90,0	0,000	0,000	0,00	6,54
2	Liniowe-Y	0,0	1,382	1,382	0,00	4,68
3	Liniowe-Y	0,0	1,382	1,382	0,00	4,68
Grupa:	C "Wiatr z lewej"			Zmienne	γf= 1,50	

1	Liniowe	90,0	1,246	1,246	0,00	6,54
2	Liniowe	7,0	-1,602	-1,602	0,00	4,68
3	Liniowe	7,0	-0,817	-0,817	0,00	4,68
4	Liniowe	90,0	0,713	0,713	0,00	7,68
Grupa: D "Wiatr z prawej"				Zmienne	$\gamma_f = 1,50$	
1	Liniowe	90,0	-0,713	-0,713	0,00	6,54
2	Liniowe	7,0	-0,817	-0,817	0,00	4,68
3	Liniowe	7,0	-1,602	-1,602	0,00	4,68
4	Liniowe	90,0	-1,246	-1,246	0,00	7,68
Grupa: E "Śnieg"				Zmienne	$\gamma_f = 1,50$	
2	Liniowe-Y	0,0	4,608	4,608	0,00	4,68
3	Liniowe-Y	0,0	4,608	4,608	0,00	4,68
Grupa: H "Instalacje"				Zmienne	$\gamma_f = 1,30$	
2	Liniowe-Y	0,0	0,360	0,360	0,00	4,68
3	Liniowe-Y	0,0	0,360	0,360	0,00	4,68

=====

W Y N I K I wg PN 82/B-02000
Teoria I-go rzędu
Kombinatoryka obciążeń
 RM_Win v. 11.105

=====

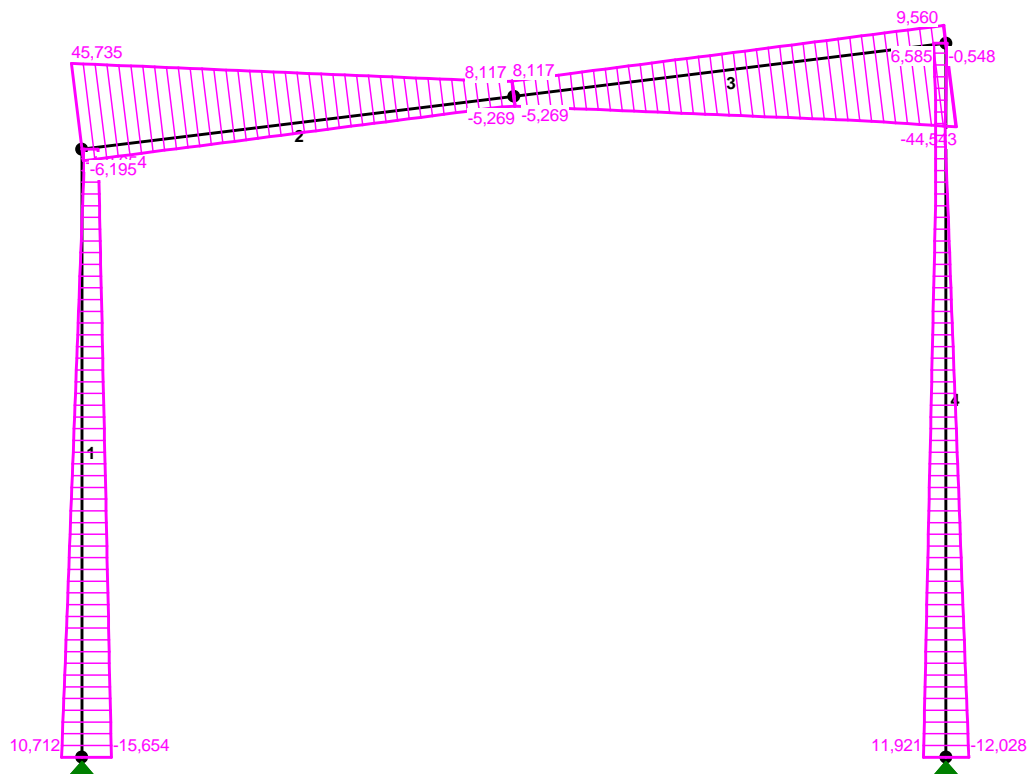
OBCIĄŻENIOWE WSPÓŁ. BEZPIECZ.:

Grupa:	Znaczenie:	γ_f :	ψ_d :
CW-"Ciężar własny"	Stałe	1,10	
A -"Płyty, płatwie, stężenia"	Stałe	1,20	
C -"Wiatr z lewej"	Zmienne	1 1,50	1,00
D -"Wiatr z prawej"	Zmienne	1 1,50	1,00
E -"Śnieg"	Zmienne	1 1,50	1,00
H -"Instalacje"	Zmienne	1 1,30	1,00

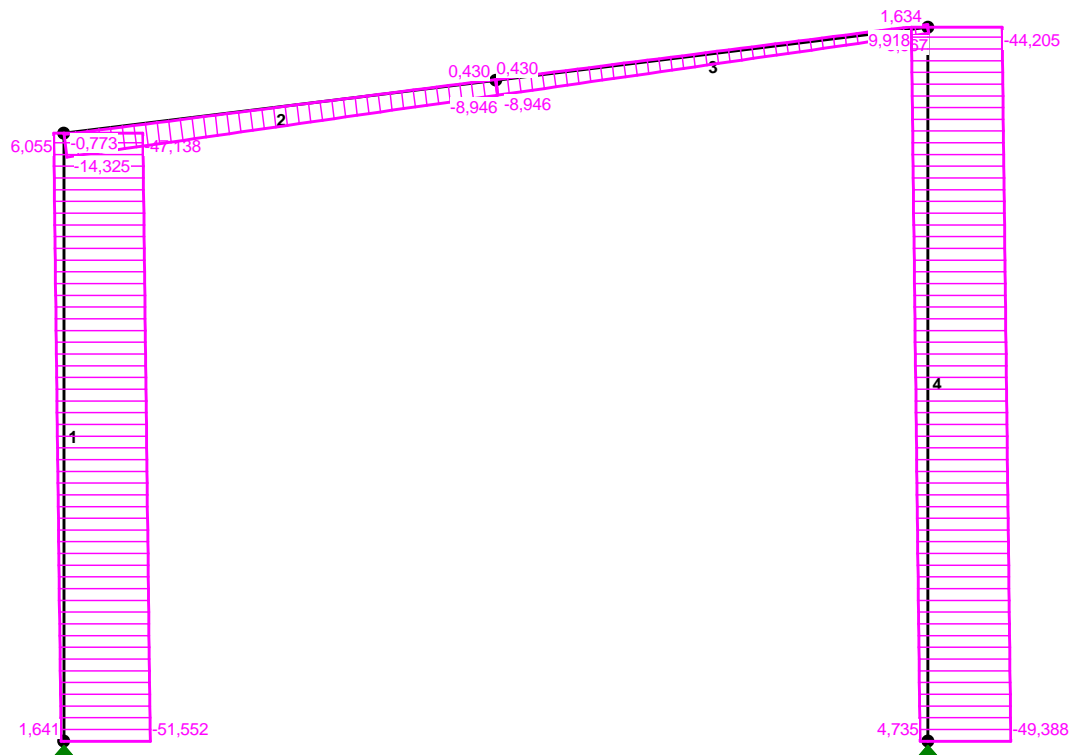
RELACJE GRUP OBCIĄŻEŃ:

Grupa obc.:	Relacje:
A -"Płyty, płatwie, stężenia"	EWENTUALNIE
C -"Wiatr z lewej"	EWENTUALNIE
D -"Wiatr z prawej"	EWENTUALNIE
E -"Śnieg"	EWENTUALNIE
H -"Instalacje"	EWENTUALNIE

TNAĆE-OBWIEDNIE :



NORMALNE-OBWIEDNIE :



SIŁY PRZEKROJOWE - WARTOŚCI EKSTREMALNE: T.I rzędu

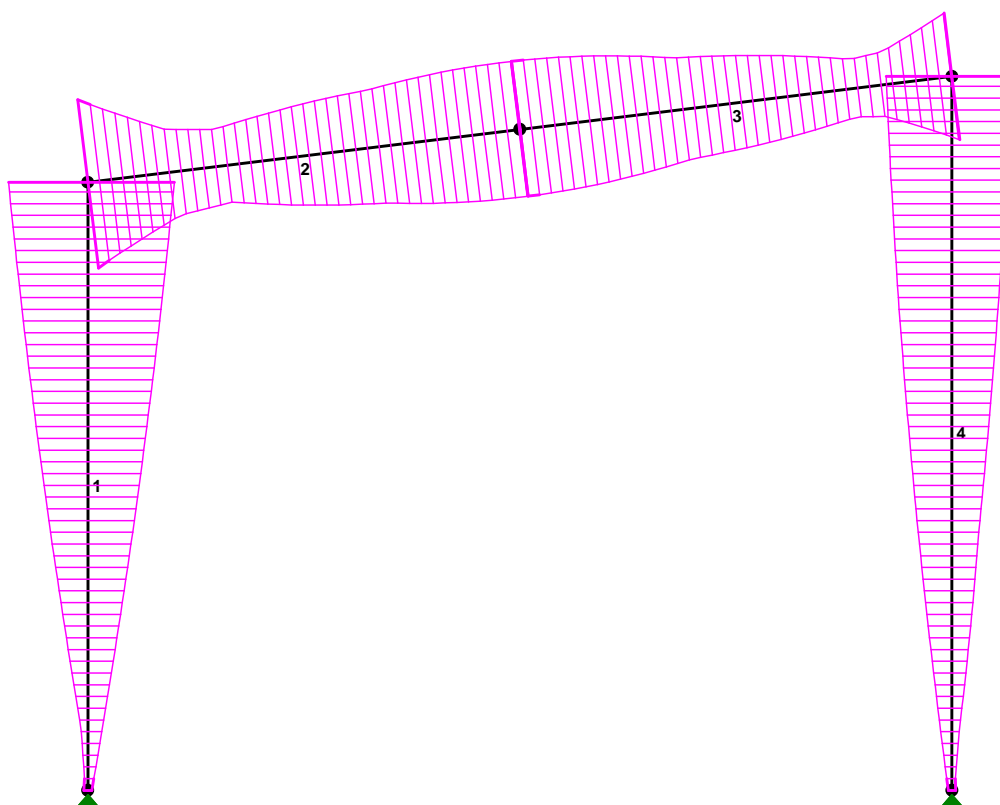
Obciążenia obl.: "Kombinacja obciążeń"

Pręt:	x[m]:	M[kNm]:	Q[kN]:	N[kN]:	Kombinacja obciążeń:
1	5,727	30,695*	0,008	5,504	1,1·CW+1,2·A+1,5·C
	6,545	-79,545*	-8,654	-47,138	1,1·CW+1,2·A+1,5·(D+E)+1,3·H
	0,000	0,000	-15,654*	-51,552	1,1·CW+1,2·A+1,5·(D+E)+1,3·H
	6,545	30,077	-1,521	6,055*	1,1·CW+1,2·A+1,5·C
	0,000	0,000	-15,654	-51,552*	1,1·CW+1,2·A+1,5·(D+E)+1,3·H
2	4,685	63,829*	-0,666	-5,433	1,1·CW+1,2·A+1,5·E+1,3·H
	0,000	-79,545*	45,735	-14,325	1,1·CW+1,2·A+1,5·(D+E)+1,3·H
	0,000	-79,545	45,735*	-14,325	1,1·CW+1,2·A+1,5·(D+E)+1,3·H
	4,685	4,432	-4,752	0,430*	1,1·CW+1,2·A+1,5·C
	0,000	-79,545	45,735	-14,325*	1,1·CW+1,2·A+1,5·(D+E)+1,3·H
3	0,000	63,829*	-0,666	-5,433	1,1·CW+1,2·A+1,5·E+1,3·H
	4,685	-60,030*	-43,405	1,591	1,1·CW+1,2·A+1,5·(C+E)+1,3·H
	4,685	-42,068	-44,543*	-0,055	1,1·CW+1,2·A+1,5·E+1,3·H
	4,685	-27,373	-8,826	1,634*	1,1·CW+1,2·A+1,5·C
	0,000	45,388	7,600	-8,946*	1,1·CW+1,2·A+1,5·(D+E)+1,3·H

4	7,685	60,030*	3,702	-43,276	$1,1 \cdot CW + 1,2 \cdot A + 1,5 \cdot (C+E) + 1,3 \cdot H$
	6,244	-38,668*	-0,358	8,946	$1,1 \cdot CW + 1,2 \cdot A + 1,5 \cdot D$
	0,000	0,000	-12,028*	4,735	$1,1 \cdot CW + 1,2 \cdot A + 1,5 \cdot D$
	7,685	-37,243	2,335	9,918*	$1,1 \cdot CW + 1,2 \cdot A + 1,5 \cdot D$
	0,000	0,000	5,474	-49,388*	$1,1 \cdot CW + 1,2 \cdot A + 1,5 \cdot E + 1,3 \cdot H$

* = Wartości ekstremalne

NAPĘŻENIA-OBWIEDNIE :



NAPĘŻENIA - WARTOŚCI EKSTREMALNE: T.I rzędu
 Obciążenia obl.: "Kombinacja obciążeń"

Pręt:	x[m]:	SigmaG:	SigmaD:	Sigma:	Kombinacja obciążeń:
		----- Ro		[MPa]	
1	6,545	0,651*		133,517	$1,1 \cdot CW + 1,2 \cdot A + 1,5 \cdot (D+E) + 1,3 \cdot H$
	5,727	-0,259*		-53,147	$1,1 \cdot CW + 1,2 \cdot A + 1,5 \cdot C$
	5,727		0,266*	54,556	$1,1 \cdot CW + 1,2 \cdot A + 1,5 \cdot C$
	6,545		-0,710*	-145,589	$1,1 \cdot CW + 1,2 \cdot A + 1,5 \cdot (D+E) + 1,3 \cdot H$

2	0,000	0,683*	140,062	$1,1 \cdot CW + 1,2 \cdot A + 1,5 \cdot (D+E) + 1,3 \cdot H$
	4,685	-0,564*	-115,536	$1,1 \cdot CW + 1,2 \cdot A + 1,5 \cdot E + 1,3 \cdot H$
	4,685	0,554*	113,516	$1,1 \cdot CW + 1,2 \cdot A + 1,5 \cdot E + 1,3 \cdot H$
	0,000	-0,709*	-145,387	$1,1 \cdot CW + 1,2 \cdot A + 1,5 \cdot (D+E) + 1,3 \cdot H$
3	4,685	0,527*	108,006	$1,1 \cdot CW + 1,2 \cdot A + 1,5 \cdot (C+E) + 1,3 \cdot H$
	0,000	-0,564*	-115,536	$1,1 \cdot CW + 1,2 \cdot A + 1,5 \cdot E + 1,3 \cdot H$
	0,000	0,554*	113,516	$1,1 \cdot CW + 1,2 \cdot A + 1,5 \cdot E + 1,3 \cdot H$
	4,685	-0,524*	-107,414	$1,1 \cdot CW + 1,2 \cdot A + 1,5 \cdot (C+E) + 1,3 \cdot H$
4	6,244	0,337*	68,984	$1,1 \cdot CW + 1,2 \cdot A + 1,5 \cdot D$
	7,685	-0,541*	-110,857	$1,1 \cdot CW + 1,2 \cdot A + 1,5 \cdot (C+E) + 1,3 \cdot H$
	7,685	0,487*	99,775	$1,1 \cdot CW + 1,2 \cdot A + 1,5 \cdot (C+E) + 1,3 \cdot H$
	6,244	-0,325*	-66,693	$1,1 \cdot CW + 1,2 \cdot A + 1,5 \cdot D$

* = Wartości ekstremalne

REAKCJE - WARTOŚCI EKSTREMALNE: T.I rzędu

Obciążenia obl.: "Kombinacja obciążeń"

Węzeł:	H[kN]:	V[kN]:	R[kN]:	M[kNm]:	Kombinacja obciążeń:
1	15,654*	51,552	53,876		$1,1 \cdot CW + 1,2 \cdot A + 1,5 \cdot (D+E) + 1,3 \cdot H$
	-10,712*	-1,641	10,837		$1,1 \cdot CW + 1,2 \cdot A + 1,5 \cdot C$
	15,654	51,552*	53,876		$1,1 \cdot CW + 1,2 \cdot A + 1,5 \cdot (D+E) + 1,3 \cdot H$
	-10,712	-1,641*	10,837		$1,1 \cdot CW + 1,2 \cdot A + 1,5 \cdot C$
	15,654	51,552	53,876*		$1,1 \cdot CW + 1,2 \cdot A + 1,5 \cdot (D+E) + 1,3 \cdot H$
4	12,028*	-4,735	12,926		$1,1 \cdot CW + 1,2 \cdot A + 1,5 \cdot D$
	-11,921*	48,459	49,903		$1,1 \cdot CW + 1,2 \cdot A + 1,5 \cdot (C+E) + 1,3 \cdot H$
	-5,474	49,388*	49,690		$1,1 \cdot CW + 1,2 \cdot A + 1,5 \cdot E + 1,3 \cdot H$
	12,028	-4,735*	12,926		$1,1 \cdot CW + 1,2 \cdot A + 1,5 \cdot D$
	-11,921	48,459	49,903*		$1,1 \cdot CW + 1,2 \cdot A + 1,5 \cdot (C+E) + 1,3 \cdot H$

* = Wartości ekstremalne

REAKCJE - WARTOŚCI EKSTREMALNE: T.I rzędu

Obciążenia char.: "Kombinacja obciążeń"

Węzeł:	H[kN]:	V[kN]:	R[kN]:	M[kNm]:	Kombinacja obciążeń:
1	10,688*	37,474	38,969		CW+A+D+E+H
	-6,917*	1,789	7,144		CW+A+C
	10,688	37,474*	38,969		CW+A+D+E+H
	-6,917	1,789*	7,144		CW+A+C
	10,688	37,474	38,969*		CW+A+D+E+H
4	7,794*	-0,088	7,795		CW+A+D
	-8,199*	35,598	36,530		CW+A+C+E+H
	-3,901	36,218*	36,427		CW+A+E+H
	7,794	-0,088*	7,795		CW+A+D
	-8,199	35,598	36,530*		CW+A+C+E+H

* = Wartości ekstremalne

PRZEMIESZCZENIA - WARTOŚCI EKSTREMALNE: T.I rzędu

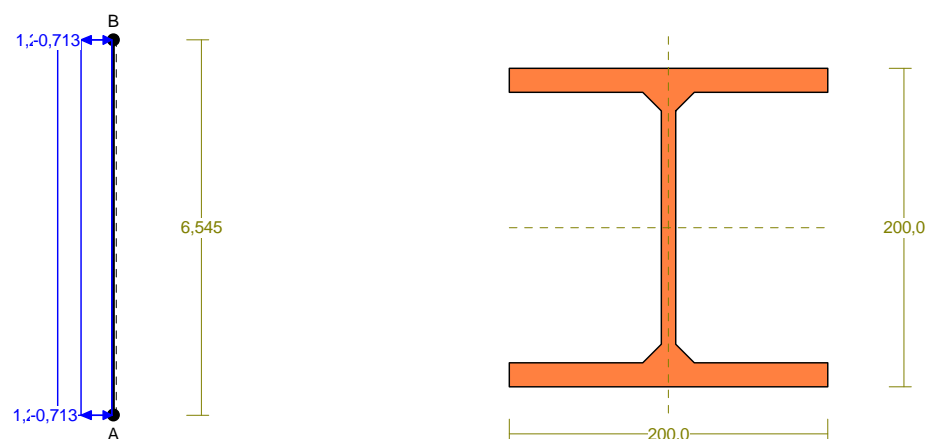
Obciążenia char.: "Kombinacja obciążeń"

Węzeł:	Ux[m]:	Uy[m]:	Wypadkowe[m]:	Kombinacja obciążeń:
1	0,00000*	0,00000	0,00000	CW+A+D+E+H
	0,00000	0,00000*	0,00000	CW+A+D+E+H
	0,00000	0,00000	0,00000*	CW+A+D+E+H
2	-0,06964*	-0,00005	0,06964	CW+A+D
	0,05373	-0,00009*	0,05373	CW+A+C+E+H
	-0,06964	-0,00005	0,06964*	CW+A+D
3	-0,06968*	0,00001	0,06968	CW+A+D
	0,05372	-0,00016*	0,05372	CW+A+C+E+H
	-0,06968	0,00001	0,06968*	CW+A+D
4	0,00000*	0,00000	0,00000	CW+A+C+E+H
	0,00000	0,00000*	0,00000	CW+A+E+H
	0,00000	0,00000	0,00000*	CW+A+C+E+H
5	-0,06976*	0,00074	0,06976	CW+A+D
	0,05597	-0,01852*	0,05895	CW+A+C+E+H
	-0,06976	0,00074	0,06976*	CW+A+D

DEFORMACJE - WARTOŚCI EKSTREMALNE: T.I rzędu
 Obciążenia char.: "Kombinacja obciążeń"

Pręt:	L/f:	Kombinacja obciążeń:
1	458,4	CW+A+D+E+H
2	935,8	CW+A+C+E+H
3	1011,6	CW+A+D+E+H
4	471,2	CW+A+C+E+H

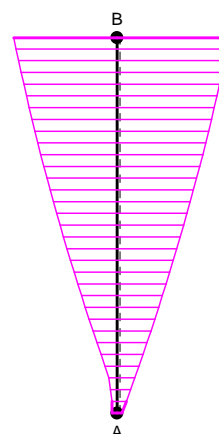
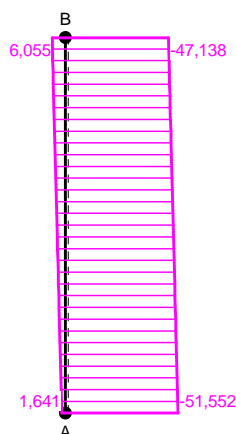
PRĘT NR 1



DANE PRĘTA: ([m], [cm²], [cm⁴], [cm³], [MPa], [1/K])

GEOMETRIA PRĘTA:
 Początek(A):1 Koniec(B):2

PRZEKRÓJ: 1
 "I 200 HEB"



SIŁY PRZEKROJOWE W PRĘCIE nr 1: T.I rzędu
 Obciążenia obl.: "Kombinacja obciążeń"

x/L:	x[m]:	M[kNm]:	Q[kN]:	N[kN]:	Kombinacja obciążeń:
0,00	0,000	0,000*	-11,673	-19,412	1,1·CW+1,2·A+1,5·D+1,3·H
		0,000*	6,462	-32,676	1,1·CW+1,2·A+1,5·(C+E)+1,3·H
		0,000	10,712*	1,641	1,1·CW+1,2·A+1,5·C
		0,000	-15,654*	-51,552	1,1·CW+1,2·A+1,5·(D+E)+1,3·H
		0,000	10,712	1,641*	1,1·CW+1,2·A+1,5·C
		0,000	-15,654	-51,552*	1,1·CW+1,2·A+1,5·(D+E)+1,3·H
0,10	0,655	6,610*	9,488	2,083	1,1·CW+1,2·A+1,5·C
		-10,016*	-14,954	-51,111	1,1·CW+1,2·A+1,5·(D+E)+1,3·H
		6,610	9,488*	2,083	1,1·CW+1,2·A+1,5·C
		-10,016	-14,954*	-51,111	1,1·CW+1,2·A+1,5·(D+E)+1,3·H
		6,610	9,488	2,083*	1,1·CW+1,2·A+1,5·C
		-10,016	-14,954	-51,111*	1,1·CW+1,2·A+1,5·(D+E)+1,3·H
0,20	1,309	12,420*	8,265	2,524	1,1·CW+1,2·A+1,5·C
		-19,574*	-14,254	-50,670	1,1·CW+1,2·A+1,5·(D+E)+1,3·H
		12,420	8,265*	2,524	1,1·CW+1,2·A+1,5·C
		-19,574	-14,254*	-50,670	1,1·CW+1,2·A+1,5·(D+E)+1,3·H
		12,420	8,265	2,524*	1,1·CW+1,2·A+1,5·C
		-19,574	-14,254	-50,670*	1,1·CW+1,2·A+1,5·(D+E)+1,3·H
0,30	1,963	17,430*	7,042	2,966	1,1·CW+1,2·A+1,5·C
		-28,674*	-13,554	-50,228	1,1·CW+1,2·A+1,5·(D+E)+1,3·H
		17,430	7,042*	2,966	1,1·CW+1,2·A+1,5·C
		-28,674	-13,554*	-50,228	1,1·CW+1,2·A+1,5·(D+E)+1,3·H
		17,430	7,042	2,966*	1,1·CW+1,2·A+1,5·C
		-28,674	-13,554	-50,228*	1,1·CW+1,2·A+1,5·(D+E)+1,3·H
0,40	2,618	21,638*	5,819	3,407	1,1·CW+1,2·A+1,5·C
		-37,316*	-12,854	-49,787	1,1·CW+1,2·A+1,5·(D+E)+1,3·H
		21,638	5,819*	3,407	1,1·CW+1,2·A+1,5·C
		-37,316	-12,854*	-49,787	1,1·CW+1,2·A+1,5·(D+E)+1,3·H
		21,638	5,819	3,407*	1,1·CW+1,2·A+1,5·C
		-37,316	-12,854	-49,787*	1,1·CW+1,2·A+1,5·(D+E)+1,3·H

0,50	3,272	25,046*	4,595	3,848	1,1·CW+1,2·A+1,5·C
		-45,499*	-12,154	-49,345	1,1·CW+1,2·A+1,5·(D+E)+1,3·H
		25,046	4,595*	3,848	1,1·CW+1,2·A+1,5·C
		-45,499	-12,154*	-49,345	1,1·CW+1,2·A+1,5·(D+E)+1,3·H
		25,046	4,595	3,848*	1,1·CW+1,2·A+1,5·C
		-45,499	-12,154	-49,345*	1,1·CW+1,2·A+1,5·(D+E)+1,3·H
0,60	3,927	27,653*	3,372	4,290	1,1·CW+1,2·A+1,5·C
		-53,225*	-11,454	-48,904	1,1·CW+1,2·A+1,5·(D+E)+1,3·H
		27,653	3,372*	4,290	1,1·CW+1,2·A+1,5·C
		-53,225	-11,454*	-48,904	1,1·CW+1,2·A+1,5·(D+E)+1,3·H
		27,653	3,372	4,290*	1,1·CW+1,2·A+1,5·C
		-53,225	-11,454	-48,904*	1,1·CW+1,2·A+1,5·(D+E)+1,3·H
0,70	4,581	29,460*	2,149	4,731	1,1·CW+1,2·A+1,5·C
		-60,492*	-10,754	-48,463	1,1·CW+1,2·A+1,5·(D+E)+1,3·H
		29,460	2,149*	4,731	1,1·CW+1,2·A+1,5·C
		-60,492	-10,754*	-48,463	1,1·CW+1,2·A+1,5·(D+E)+1,3·H
		29,460	2,149	4,731*	1,1·CW+1,2·A+1,5·C
		-60,492	-10,754	-48,463*	1,1·CW+1,2·A+1,5·(D+E)+1,3·H
0,80	5,236	30,466*	0,926	5,173	1,1·CW+1,2·A+1,5·C
		-67,301*	-10,054	-48,021	1,1·CW+1,2·A+1,5·(D+E)+1,3·H
		30,466	0,926*	5,173	1,1·CW+1,2·A+1,5·C
		-67,301	-10,054*	-48,021	1,1·CW+1,2·A+1,5·(D+E)+1,3·H
		30,466	0,926	5,173*	1,1·CW+1,2·A+1,5·C
		-67,301	-10,054	-48,021*	1,1·CW+1,2·A+1,5·(D+E)+1,3·H
0,90	5,891	30,672*	-0,298	5,614	1,1·CW+1,2·A+1,5·C
		-73,652*	-9,354	-47,580	1,1·CW+1,2·A+1,5·(D+E)+1,3·H
		30,672	-0,298*	5,614	1,1·CW+1,2·A+1,5·C
		-73,652	-9,354*	-47,580	1,1·CW+1,2·A+1,5·(D+E)+1,3·H
		30,672	-0,298	5,614*	1,1·CW+1,2·A+1,5·C
		-73,652	-9,354	-47,580*	1,1·CW+1,2·A+1,5·(D+E)+1,3·H
1,00	6,545	30,077*	-1,521	6,055	1,1·CW+1,2·A+1,5·C
		-79,545*	-8,654	-47,138	1,1·CW+1,2·A+1,5·(D+E)+1,3·H
		-8,014	-1,224*	-9,888	1,1·CW+1,2·A
		-79,545	-8,654*	-47,138	1,1·CW+1,2·A+1,5·(D+E)+1,3·H
		30,077	-1,521	6,055*	1,1·CW+1,2·A+1,5·C
		-79,545	-8,654	-47,138*	1,1·CW+1,2·A+1,5·(D+E)+1,3·H
1,00	6,545	30,077*	-1,521	6,055	1,1·CW+1,2·A+1,5·C
		-79,545*	-8,654	-47,138	1,1·CW+1,2·A+1,5·(D+E)+1,3·H
		-8,014	-1,224*	-9,888	1,1·CW+1,2·A
		-79,545	-8,654*	-47,138	1,1·CW+1,2·A+1,5·(D+E)+1,3·H
		30,077	-1,521	6,055*	1,1·CW+1,2·A+1,5·C
		-79,545	-8,654	-47,138*	1,1·CW+1,2·A+1,5·(D+E)+1,3·H
0,88	5,727	30,695*	0,008	5,504	1,1·CW+1,2·A+1,5·C
1,00	6,545	-79,545*	-8,654	-47,138	1,1·CW+1,2·A+1,5·(D+E)+1,3·H
0,00	0,000	0,000	-15,654*	-51,552	1,1·CW+1,2·A+1,5·(D+E)+1,3·H
1,00	6,545	30,077	-1,521	6,055*	1,1·CW+1,2·A+1,5·C
0,00	0,000	0,000	-15,654	-51,552*	1,1·CW+1,2·A+1,5·(D+E)+1,3·H

* = Wartości ekstremalne

NAPRĘŻENIA W PRĘCIE nr 1: T.I rzędu
 Obciążenia obl.: "Kombinacja obciążeń"

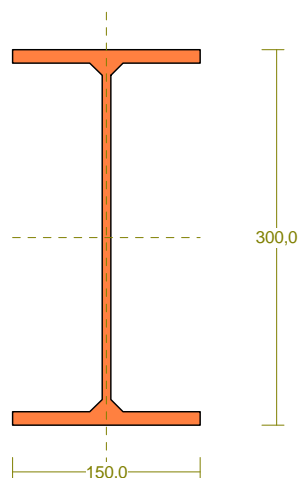
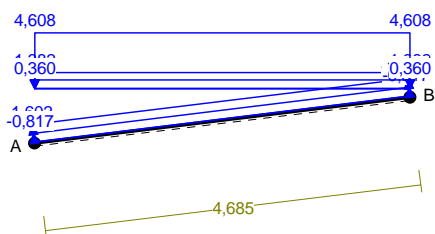
x/L:	x[m]:	SigmaG:	SigmaD:	Sigma:	Kombinacja obciążeń:
		----- Ro		[MPa]	
1,00	6,545	0,651*		133,517	1,1·CW+1,2·A+1,5·(D+E)+1,3·H
		-0,254*		-51,991	1,1·CW+1,2·A+1,5·C
			0,261*	53,541	1,1·CW+1,2·A+1,5·C
			-0,710*	-145,589	1,1·CW+1,2·A+1,5·(D+E)+1,3·H
1,00	6,545	0,651*		133,517	1,1·CW+1,2·A+1,5·(D+E)+1,3·H
		-0,254*		-51,991	1,1·CW+1,2·A+1,5·C
			0,261*	53,541	1,1·CW+1,2·A+1,5·C
			-0,710*	-145,589	1,1·CW+1,2·A+1,5·(D+E)+1,3·H
1,00	6,545	0,651*		133,517	1,1·CW+1,2·A+1,5·(D+E)+1,3·H
		-0,254*		-51,991	1,1·CW+1,2·A+1,5·C
			0,261*	53,541	1,1·CW+1,2·A+1,5·C
			-0,710*	-145,589	1,1·CW+1,2·A+1,5·(D+E)+1,3·H
1,00	6,545	0,651*		133,517	1,1·CW+1,2·A+1,5·(D+E)+1,3·H
		-0,254*		-51,991	1,1·CW+1,2·A+1,5·C
			0,261*	53,541	1,1·CW+1,2·A+1,5·C
			-0,710*	-145,589	1,1·CW+1,2·A+1,5·(D+E)+1,3·H
1,00	6,545	0,651*		133,517	1,1·CW+1,2·A+1,5·(D+E)+1,3·H
		-0,254*		-51,991	1,1·CW+1,2·A+1,5·C
			0,261*	53,541	1,1·CW+1,2·A+1,5·C
			-0,710*	-145,589	1,1·CW+1,2·A+1,5·(D+E)+1,3·H
1,00	6,545	0,651*		133,517	1,1·CW+1,2·A+1,5·(D+E)+1,3·H
		-0,254*		-51,991	1,1·CW+1,2·A+1,5·C
			0,261*	53,541	1,1·CW+1,2·A+1,5·C
			-0,710*	-145,589	1,1·CW+1,2·A+1,5·(D+E)+1,3·H
1,00	6,545	0,651*		133,517	1,1·CW+1,2·A+1,5·(D+E)+1,3·H
		-0,254*		-51,991	1,1·CW+1,2·A+1,5·C
			0,261*	53,541	1,1·CW+1,2·A+1,5·C
			-0,710*	-145,589	1,1·CW+1,2·A+1,5·(D+E)+1,3·H
1,00	6,545	0,651*		133,517	1,1·CW+1,2·A+1,5·(D+E)+1,3·H
		-0,254*		-51,991	1,1·CW+1,2·A+1,5·C
			0,261*	53,541	1,1·CW+1,2·A+1,5·C
			-0,710*	-145,589	1,1·CW+1,2·A+1,5·(D+E)+1,3·H

1,00	6,545	0,651*	133,517	$1,1 \cdot CW + 1,2 \cdot A + 1,5 \cdot (D+E) + 1,3 \cdot H$
		-0,254*	-51,991	$1,1 \cdot CW + 1,2 \cdot A + 1,5 \cdot C$
		0,261*	53,541	$1,1 \cdot CW + 1,2 \cdot A + 1,5 \cdot C$
		-0,710*	-145,589	$1,1 \cdot CW + 1,2 \cdot A + 1,5 \cdot (D+E) + 1,3 \cdot H$

1,00	6,545	0,651*	133,517	$1,1 \cdot CW + 1,2 \cdot A + 1,5 \cdot (D+E) + 1,3 \cdot H$
0,88	5,727	-0,259*	-53,147	$1,1 \cdot CW + 1,2 \cdot A + 1,5 \cdot C$
0,88	5,727	0,266*	54,556	$1,1 \cdot CW + 1,2 \cdot A + 1,5 \cdot C$
1,00	6,545	-0,710*	-145,589	$1,1 \cdot CW + 1,2 \cdot A + 1,5 \cdot (D+E) + 1,3 \cdot H$

* = Wartości ekstremalne

PRĘT NR 2



DANE PRĘTA: ([m], [cm²], [cm⁴], [cm³], [MPa], [1/K])

GEOMETRIA PRĘTA:		PRZEKRÓJ: 2
Początek(A): 2	Koniec(B): 5	"I 300 PE"
Sztywne	Sztywne	MATERIAŁ: 66 St3S (X,Y,V,W)
Długość: 4,685	Kąt: 6,99	Imperfekcje
Rzuty		wo/L= 0,0000 fo/L= 0,0000
H: 4,650	V: 0,570	

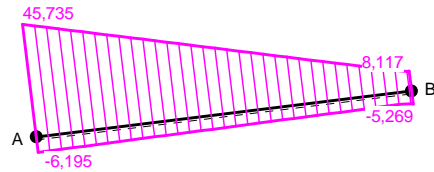
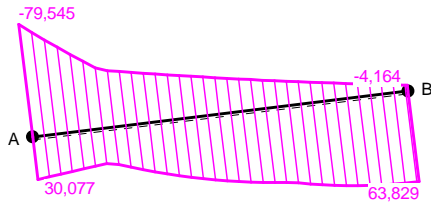
OBCIĄŻENIA: ([kN], [kNm], [kN/m])

Pręt:	Rodzaj:	Kąt:	P1(Tg):	P2(Td):	a[m]:	b[m]:
Grupa: 2	A "Płyty, płatwie, stężenia"	0,0	1,382	1,382	0,00	4,68
	Liniowe-Y				$\gamma_f = 1,20$	
Grupa: 2	C "Wiatr z lewej"	7,0	-1,602	-1,602	0,00	4,68
	Liniowe				$\gamma_f = 1,50$	
Grupa: 2	D "Wiatr z prawej"	7,0	-0,817	-0,817	0,00	4,68
	Liniowe				$\gamma_f = 1,50$	
Grupa: 2	E "Śnieg"	0,0	4,608	4,608	0,00	4,68
	Liniowe-Y				$\gamma_f = 1,50$	

Grupa: H "Instalacje" Zmienne $\gamma_f = 1,30$
 2 Liniowe-Y 0,0 0,360 0,360 0,00 4,68

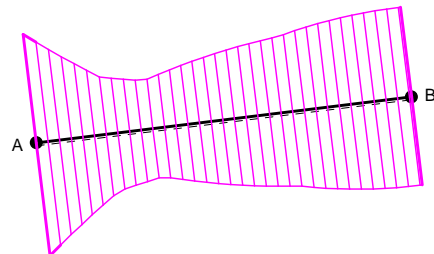
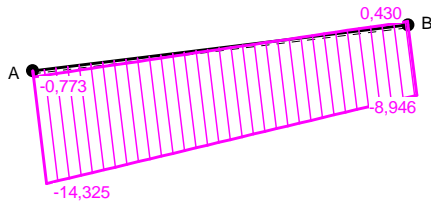
M

Q



N

Sigma



SIŁY PRZEKROJOWE W PRĘCIE nr 2: T.I rzędu
 Obciążenia obl.: "Kombinacja obciążeń"

x/L:	x[m]:	M[kNm]:	Q[kN]:	N[kN]:	Kombinacja obciążeń:
0,00	0,000	30,077*	-6,195	-0,773	$1,1 \cdot CW + 1,2 \cdot A + 1,5 \cdot C$
		-79,545*	45,735	-14,325	$1,1 \cdot CW + 1,2 \cdot A + 1,5 \cdot (D+E) + 1,3 \cdot H$
		-79,545	45,735*	-14,325	$1,1 \cdot CW + 1,2 \cdot A + 1,5 \cdot (D+E) + 1,3 \cdot H$
		30,077	-6,195*	-0,773	$1,1 \cdot CW + 1,2 \cdot A + 1,5 \cdot C$
		30,077	-6,195	-0,773*	$1,1 \cdot CW + 1,2 \cdot A + 1,5 \cdot C$
		-79,545	45,735	-14,325*	$1,1 \cdot CW + 1,2 \cdot A + 1,5 \cdot (D+E) + 1,3 \cdot H$
0,10	0,468	27,208*	-6,051	-0,653	$1,1 \cdot CW + 1,2 \cdot A + 1,5 \cdot C$

		-59,012*	41,922	-13,787	$1,1 \cdot CW + 1,2 \cdot A + 1,5 \cdot (D+E) + 1,3 \cdot H$
		-59,012	41,922*	-13,787	$1,1 \cdot CW + 1,2 \cdot A + 1,5 \cdot (D+E) + 1,3 \cdot H$
		27,208	-6,051*	-0,653	$1,1 \cdot CW + 1,2 \cdot A + 1,5 \cdot C$
		27,208	-6,051	-0,653*	$1,1 \cdot CW + 1,2 \cdot A + 1,5 \cdot C$
		-59,012	41,922	-13,787*	$1,1 \cdot CW + 1,2 \cdot A + 1,5 \cdot (D+E) + 1,3 \cdot H$
0,20	0,937	24,832*	20,826	-8,090	$1,1 \cdot CW + 1,2 \cdot A + 1,5 \cdot (C+E) + 1,3 \cdot H$
		-40,692*	11,376	-5,691	$1,1 \cdot CW + 1,2 \cdot A + 1,5 \cdot D$
		-40,266	38,108*	-13,249	$1,1 \cdot CW + 1,2 \cdot A + 1,5 \cdot (D+E) + 1,3 \cdot H$
		24,407	-5,907*	-0,532	$1,1 \cdot CW + 1,2 \cdot A + 1,5 \cdot C$
		24,407	-5,907	-0,532*	$1,1 \cdot CW + 1,2 \cdot A + 1,5 \cdot C$
		-40,266	38,108	-13,249*	$1,1 \cdot CW + 1,2 \cdot A + 1,5 \cdot (D+E) + 1,3 \cdot H$
0,30	1,405	33,825*	17,564	-7,553	$1,1 \cdot CW + 1,2 \cdot A + 1,5 \cdot (C+E) + 1,3 \cdot H$
		-35,458*	10,968	-5,570	$1,1 \cdot CW + 1,2 \cdot A + 1,5 \cdot D$
		-23,306	34,295*	-12,711	$1,1 \cdot CW + 1,2 \cdot A + 1,5 \cdot (D+E) + 1,3 \cdot H$
		21,673	-5,763*	-0,412	$1,1 \cdot CW + 1,2 \cdot A + 1,5 \cdot C$
		21,673	-5,763	-0,412*	$1,1 \cdot CW + 1,2 \cdot A + 1,5 \cdot C$
		-23,306	34,295	-12,711*	$1,1 \cdot CW + 1,2 \cdot A + 1,5 \cdot (D+E) + 1,3 \cdot H$
0,40	1,874	41,289*	14,302	-7,015	$1,1 \cdot CW + 1,2 \cdot A + 1,5 \cdot (C+E) + 1,3 \cdot H$
		-30,415*	10,561	-5,450	$1,1 \cdot CW + 1,2 \cdot A + 1,5 \cdot D$
		-8,133	30,481*	-12,173	$1,1 \cdot CW + 1,2 \cdot A + 1,5 \cdot (D+E) + 1,3 \cdot H$
		19,008	-5,618*	-0,292	$1,1 \cdot CW + 1,2 \cdot A + 1,5 \cdot C$
		19,008	-5,618	-0,292*	$1,1 \cdot CW + 1,2 \cdot A + 1,5 \cdot C$
		-8,133	30,481	-12,173*	$1,1 \cdot CW + 1,2 \cdot A + 1,5 \cdot (D+E) + 1,3 \cdot H$
0,50	2,342	47,225*	11,040	-6,477	$1,1 \cdot CW + 1,2 \cdot A + 1,5 \cdot (C+E) + 1,3 \cdot H$
		-25,563*	10,154	-5,330	$1,1 \cdot CW + 1,2 \cdot A + 1,5 \cdot D$
		5,253	26,668*	-11,635	$1,1 \cdot CW + 1,2 \cdot A + 1,5 \cdot (D+E) + 1,3 \cdot H$
		16,409	-5,474*	-0,171	$1,1 \cdot CW + 1,2 \cdot A + 1,5 \cdot C$
		16,409	-5,474	-0,171*	$1,1 \cdot CW + 1,2 \cdot A + 1,5 \cdot C$
		5,253	26,668	-11,635*	$1,1 \cdot CW + 1,2 \cdot A + 1,5 \cdot (D+E) + 1,3 \cdot H$
0,60	2,811	51,633*	7,778	-5,939	$1,1 \cdot CW + 1,2 \cdot A + 1,5 \cdot (C+E) + 1,3 \cdot H$
		-20,901*	9,746	-5,209	$1,1 \cdot CW + 1,2 \cdot A + 1,5 \cdot D$
		16,853	22,854*	-11,098	$1,1 \cdot CW + 1,2 \cdot A + 1,5 \cdot (D+E) + 1,3 \cdot H$
		13,879	-5,330*	-0,051	$1,1 \cdot CW + 1,2 \cdot A + 1,5 \cdot C$
		13,879	-5,330	-0,051*	$1,1 \cdot CW + 1,2 \cdot A + 1,5 \cdot C$
		16,853	22,854	-11,098*	$1,1 \cdot CW + 1,2 \cdot A + 1,5 \cdot (D+E) + 1,3 \cdot H$
0,70	3,279	55,515*	12,497	-7,047	$1,1 \cdot CW + 1,2 \cdot A + 1,5 \cdot E + 1,3 \cdot H$
		-16,431*	9,339	-5,089	$1,1 \cdot CW + 1,2 \cdot A + 1,5 \cdot D$
		26,667	19,041*	-10,560	$1,1 \cdot CW + 1,2 \cdot A + 1,5 \cdot (D+E) + 1,3 \cdot H$
		11,416	-5,185*	0,069	$1,1 \cdot CW + 1,2 \cdot A + 1,5 \cdot C$
		11,416	-5,185	0,069*	$1,1 \cdot CW + 1,2 \cdot A + 1,5 \cdot C$
		26,667	19,041	-10,560*	$1,1 \cdot CW + 1,2 \cdot A + 1,5 \cdot (D+E) + 1,3 \cdot H$
0,80	3,748	60,342*	8,109	-6,509	$1,1 \cdot CW + 1,2 \cdot A + 1,5 \cdot E + 1,3 \cdot H$
		-12,151*	8,932	-4,969	$1,1 \cdot CW + 1,2 \cdot A + 1,5 \cdot D$
		34,694	15,227*	-10,022	$1,1 \cdot CW + 1,2 \cdot A + 1,5 \cdot (D+E) + 1,3 \cdot H$
		9,020	-5,041*	0,190	$1,1 \cdot CW + 1,2 \cdot A + 1,5 \cdot C$
		9,020	-5,041	0,190*	$1,1 \cdot CW + 1,2 \cdot A + 1,5 \cdot C$
		34,694	15,227	-10,022*	$1,1 \cdot CW + 1,2 \cdot A + 1,5 \cdot (D+E) + 1,3 \cdot H$
0,90	4,216	63,113*	3,722	-5,971	$1,1 \cdot CW + 1,2 \cdot A + 1,5 \cdot E + 1,3 \cdot H$
		-8,062*	8,524	-4,848	$1,1 \cdot CW + 1,2 \cdot A + 1,5 \cdot D$
		40,934	11,414*	-9,484	$1,1 \cdot CW + 1,2 \cdot A + 1,5 \cdot (D+E) + 1,3 \cdot H$
		6,693	-4,897*	0,310	$1,1 \cdot CW + 1,2 \cdot A + 1,5 \cdot C$
		6,693	-4,897	0,310*	$1,1 \cdot CW + 1,2 \cdot A + 1,5 \cdot C$
		40,934	11,414	-9,484*	$1,1 \cdot CW + 1,2 \cdot A + 1,5 \cdot (D+E) + 1,3 \cdot H$

1,00	4,685	63,829*	-0,666	-5,433	$1,1 \cdot CW + 1,2 \cdot A + 1,5 \cdot E + 1,3 \cdot H$
		-4,164*	8,117	-4,728	$1,1 \cdot CW + 1,2 \cdot A + 1,5 \cdot D$
		-4,164	8,117*	-4,728	$1,1 \cdot CW + 1,2 \cdot A + 1,5 \cdot D$
		53,984	-5,269*	-3,788	$1,1 \cdot CW + 1,2 \cdot A + 1,5 \cdot (C+E) + 1,3 \cdot H$
		4,432	-4,752	0,430*	$1,1 \cdot CW + 1,2 \cdot A + 1,5 \cdot C$
		45,388	7,600	-8,946*	$1,1 \cdot CW + 1,2 \cdot A + 1,5 \cdot (D+E) + 1,3 \cdot H$

1,00	4,685	63,829*	-0,666	-5,433	$1,1 \cdot CW + 1,2 \cdot A + 1,5 \cdot E + 1,3 \cdot H$
		-4,164*	8,117	-4,728	$1,1 \cdot CW + 1,2 \cdot A + 1,5 \cdot D$
		-4,164	8,117*	-4,728	$1,1 \cdot CW + 1,2 \cdot A + 1,5 \cdot D$
		53,984	-5,269*	-3,788	$1,1 \cdot CW + 1,2 \cdot A + 1,5 \cdot (C+E) + 1,3 \cdot H$
		4,432	-4,752	0,430*	$1,1 \cdot CW + 1,2 \cdot A + 1,5 \cdot C$
		45,388	7,600	-8,946*	$1,1 \cdot CW + 1,2 \cdot A + 1,5 \cdot (D+E) + 1,3 \cdot H$

1,00	4,685	63,829*	-0,666	-5,433	$1,1 \cdot CW + 1,2 \cdot A + 1,5 \cdot E + 1,3 \cdot H$
0,00	0,000	-79,545*	45,735	-14,325	$1,1 \cdot CW + 1,2 \cdot A + 1,5 \cdot (D+E) + 1,3 \cdot H$
0,00	0,000	-79,545	45,735*	-14,325	$1,1 \cdot CW + 1,2 \cdot A + 1,5 \cdot (D+E) + 1,3 \cdot H$
1,00	4,685	4,432	-4,752	0,430*	$1,1 \cdot CW + 1,2 \cdot A + 1,5 \cdot C$
0,00	0,000	-79,545	45,735	-14,325*	$1,1 \cdot CW + 1,2 \cdot A + 1,5 \cdot (D+E) + 1,3 \cdot H$

* = Wartości ekstremalne

NAPRĘŻENIA W PRĘCIE nr 2: T.I rzędu
 Obciążenia obl.: "Kombinacja obciążeń"

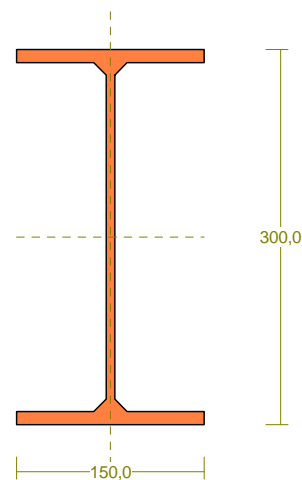
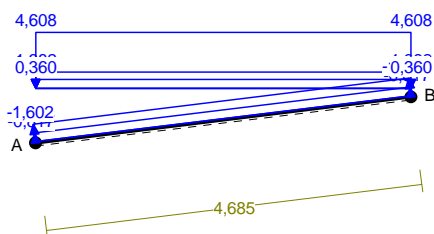
x/L:	x[m]:	SigmaG:	SigmaD:	Sigma:	Kombinacja obciążeń:
		-----		[MPa]	
		Ro			

1,00	4,685	0,032*		6,592	$1,1 \cdot CW + 1,2 \cdot A + 1,5 \cdot D$
		-0,564*		-115,536	$1,1 \cdot CW + 1,2 \cdot A + 1,5 \cdot E + 1,3 \cdot H$
			0,554*	113,516	$1,1 \cdot CW + 1,2 \cdot A + 1,5 \cdot E + 1,3 \cdot H$
			-0,041*	-8,350	$1,1 \cdot CW + 1,2 \cdot A + 1,5 \cdot D$
1,00	4,685	0,032*		6,592	$1,1 \cdot CW + 1,2 \cdot A + 1,5 \cdot D$
		-0,564*		-115,536	$1,1 \cdot CW + 1,2 \cdot A + 1,5 \cdot E + 1,3 \cdot H$
			0,554*	113,516	$1,1 \cdot CW + 1,2 \cdot A + 1,5 \cdot E + 1,3 \cdot H$
			-0,041*	-8,350	$1,1 \cdot CW + 1,2 \cdot A + 1,5 \cdot D$
1,00	4,685	0,032*		6,592	$1,1 \cdot CW + 1,2 \cdot A + 1,5 \cdot D$
		-0,564*		-115,536	$1,1 \cdot CW + 1,2 \cdot A + 1,5 \cdot E + 1,3 \cdot H$
			0,554*	113,516	$1,1 \cdot CW + 1,2 \cdot A + 1,5 \cdot E + 1,3 \cdot H$
			-0,041*	-8,350	$1,1 \cdot CW + 1,2 \cdot A + 1,5 \cdot D$
1,00	4,685	0,032*		6,592	$1,1 \cdot CW + 1,2 \cdot A + 1,5 \cdot D$
		-0,564*		-115,536	$1,1 \cdot CW + 1,2 \cdot A + 1,5 \cdot E + 1,3 \cdot H$
			0,554*	113,516	$1,1 \cdot CW + 1,2 \cdot A + 1,5 \cdot E + 1,3 \cdot H$
			-0,041*	-8,350	$1,1 \cdot CW + 1,2 \cdot A + 1,5 \cdot D$
1,00	4,685	0,032*		6,592	$1,1 \cdot CW + 1,2 \cdot A + 1,5 \cdot D$
		-0,564*		-115,536	$1,1 \cdot CW + 1,2 \cdot A + 1,5 \cdot E + 1,3 \cdot H$
			0,554*	113,516	$1,1 \cdot CW + 1,2 \cdot A + 1,5 \cdot E + 1,3 \cdot H$
			-0,041*	-8,350	$1,1 \cdot CW + 1,2 \cdot A + 1,5 \cdot D$

1,00	4,685	0,032* -0,564*	6,592 -115,536 113,516 -8,350	$1,1 \cdot CW + 1,2 \cdot A + 1,5 \cdot D$ $1,1 \cdot CW + 1,2 \cdot A + 1,5 \cdot E + 1,3 \cdot H$ $1,1 \cdot CW + 1,2 \cdot A + 1,5 \cdot E + 1,3 \cdot H$ $1,1 \cdot CW + 1,2 \cdot A + 1,5 \cdot D$
		0,554* -0,041*		
1,00	4,685	0,032* -0,564*	6,592 -115,536 113,516 -8,350	$1,1 \cdot CW + 1,2 \cdot A + 1,5 \cdot D$ $1,1 \cdot CW + 1,2 \cdot A + 1,5 \cdot E + 1,3 \cdot H$ $1,1 \cdot CW + 1,2 \cdot A + 1,5 \cdot E + 1,3 \cdot H$ $1,1 \cdot CW + 1,2 \cdot A + 1,5 \cdot D$
		0,554* -0,041*		
1,00	4,685	0,032* -0,564*	6,592 -115,536 113,516 -8,350	$1,1 \cdot CW + 1,2 \cdot A + 1,5 \cdot D$ $1,1 \cdot CW + 1,2 \cdot A + 1,5 \cdot E + 1,3 \cdot H$ $1,1 \cdot CW + 1,2 \cdot A + 1,5 \cdot E + 1,3 \cdot H$ $1,1 \cdot CW + 1,2 \cdot A + 1,5 \cdot D$
		0,554* -0,041*		
1,00	4,685	0,032* -0,564*	6,592 -115,536 113,516 -8,350	$1,1 \cdot CW + 1,2 \cdot A + 1,5 \cdot D$ $1,1 \cdot CW + 1,2 \cdot A + 1,5 \cdot E + 1,3 \cdot H$ $1,1 \cdot CW + 1,2 \cdot A + 1,5 \cdot E + 1,3 \cdot H$ $1,1 \cdot CW + 1,2 \cdot A + 1,5 \cdot D$
		0,554* -0,041*		
1,00	4,685	0,032* -0,564*	6,592 -115,536 113,516 -8,350	$1,1 \cdot CW + 1,2 \cdot A + 1,5 \cdot D$ $1,1 \cdot CW + 1,2 \cdot A + 1,5 \cdot E + 1,3 \cdot H$ $1,1 \cdot CW + 1,2 \cdot A + 1,5 \cdot E + 1,3 \cdot H$ $1,1 \cdot CW + 1,2 \cdot A + 1,5 \cdot D$
		0,554* -0,041*		
1,00	4,685	0,032* -0,564*	6,592 -115,536 113,516 -8,350	$1,1 \cdot CW + 1,2 \cdot A + 1,5 \cdot D$ $1,1 \cdot CW + 1,2 \cdot A + 1,5 \cdot E + 1,3 \cdot H$ $1,1 \cdot CW + 1,2 \cdot A + 1,5 \cdot E + 1,3 \cdot H$ $1,1 \cdot CW + 1,2 \cdot A + 1,5 \cdot D$
		0,554* -0,041*		
0,00	0,000	0,683*	140,062	$1,1 \cdot CW + 1,2 \cdot A + 1,5 \cdot (D+E) + 1,3 \cdot H$
1,00	4,685	-0,564*	-115,536	$1,1 \cdot CW + 1,2 \cdot A + 1,5 \cdot E + 1,3 \cdot H$
1,00	4,685	0,554*	113,516	$1,1 \cdot CW + 1,2 \cdot A + 1,5 \cdot E + 1,3 \cdot H$
0,00	0,000	-0,709*	-145,387	$1,1 \cdot CW + 1,2 \cdot A + 1,5 \cdot (D+E) + 1,3 \cdot H$

* = Wartości ekstremalne

PRĘT NR 3



DANE PRĘTA: ([m], [cm²], [cm⁴], [cm³], [MPa], [1/K])

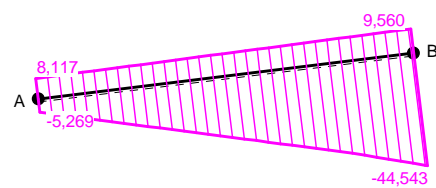
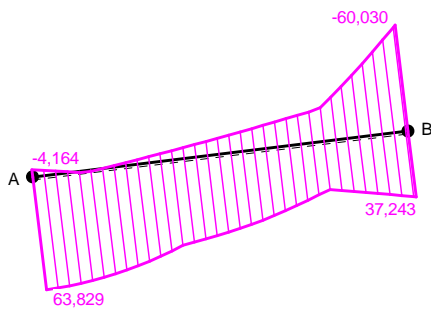
 GEOMETRIA PRĘTA: PRZEKRÓJ: 2
 Początek(A):5 Koniec(B):3 "I 300 PE"
 Sztywne Sztywne MATERIAŁ:66 St3S (X,Y,V,W)
 Długość: 4,685 Kat: 6,99
 Rzuty Imperfekcje
 H: 4,650 V: 0,570 wo/L= 0,0000 fo/L= 0,0000

OBCIĄŻENIA: ([kN], [kNm], [kN/m])

Pręt:	Rodzaj:	Kąt:	P1(Tg):	P2(Td):	a[m]:	b[m]:
Grupa: A	"Płyty, płatwie, stężenia"			Stałe	$\gamma_f = 1,20$	
3	Liniowe-Y	0,0	1,382	1,382	0,00	4,68
Grupa: C	"Wiatr z lewej"			Zmienne	$\gamma_f = 1,50$	
3	Liniowe	7,0	-0,817	-0,817	0,00	4,68
Grupa: D	"Wiatr z prawej"			Zmienne	$\gamma_f = 1,50$	
3	Liniowe	7,0	-1,602	-1,602	0,00	4,68
Grupa: E	"Śnieg"			Zmienne	$\gamma_f = 1,50$	
3	Liniowe-Y	0,0	4,608	4,608	0,00	4,68
Grupa: H	"Instalacje"			Zmienne	$\gamma_f = 1,30$	
3	Liniowe-Y	0,0	0,360	0,360	0,00	4,68

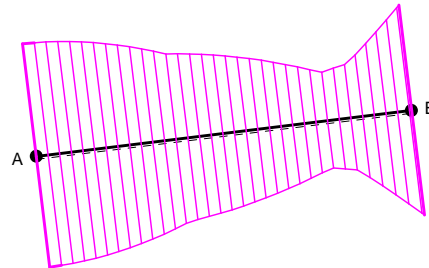
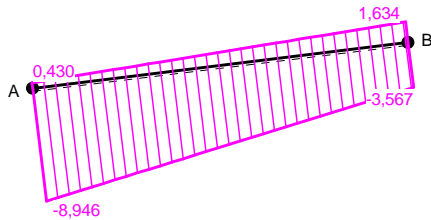
M

Q



N

Sigma



SIŁY PRZEKROJOWE W PRĘCIE nr 3: T.I rzędu
 Obciążenia obl.: "Kombinacja obciążeń"

x/L:	x[m]:	M[kNm]:	Q[kN]:	N[kN]:	Kombinacja obciążeń:
0,00	0,000	63,829*	-0,666	-5,433	1,1·CW+1,2·A+1,5·E+1,3·H
		-4,164*	8,117	-4,728	1,1·CW+1,2·A+1,5·D
		-4,164	8,117*	-4,728	1,1·CW+1,2·A+1,5·D
		53,984	-5,269*	-3,788	1,1·CW+1,2·A+1,5·(C+E)+1,3·H
		4,432	-4,752	0,430*	1,1·CW+1,2·A+1,5·C
		45,388	7,600	-8,946*	1,1·CW+1,2·A+1,5·(D+E)+1,3·H
0,10	0,468	62,489*	-5,054	-4,895	1,1·CW+1,2·A+1,5·E+1,3·H
		-0,327*	8,261	-4,608	1,1·CW+1,2·A+1,5·D
		-0,327	8,261*	-4,608	1,1·CW+1,2·A+1,5·D
		50,622	-9,083*	-3,250	1,1·CW+1,2·A+1,5·(C+E)+1,3·H
		2,111	-5,160	0,551*	1,1·CW+1,2·A+1,5·C
		48,184	4,338	-8,408*	1,1·CW+1,2·A+1,5·(D+E)+1,3·H
0,20	0,937	59,094*	-9,441	-4,358	1,1·CW+1,2·A+1,5·E+1,3·H
		-0,402*	-5,567	0,671	1,1·CW+1,2·A+1,5·C
		3,577	8,406*	-4,487	1,1·CW+1,2·A+1,5·D
		45,474	-12,896*	-2,712	1,1·CW+1,2·A+1,5·(C+E)+1,3·H
		-0,402	-5,567	0,671*	1,1·CW+1,2·A+1,5·C
		49,452	1,076	-7,870*	1,1·CW+1,2·A+1,5·(D+E)+1,3·H
0,30	1,405	53,643*	-13,829	-3,820	1,1·CW+1,2·A+1,5·E+1,3·H
		-3,105*	-5,974	0,791	1,1·CW+1,2·A+1,5·C
		7,548	8,550*	-4,367	1,1·CW+1,2·A+1,5·D
		38,539	-16,710*	-2,174	1,1·CW+1,2·A+1,5·(C+E)+1,3·H
		-3,105	-5,974	0,791*	1,1·CW+1,2·A+1,5·C
		49,192	-2,186	-7,333*	1,1·CW+1,2·A+1,5·(D+E)+1,3·H
0,40	1,874	47,404*	-5,448	-6,795	1,1·CW+1,2·A+1,5·(D+E)+1,3·H
		-6,000*	-6,382	0,912	1,1·CW+1,2·A+1,5·C
		11,588	8,694*	-4,247	1,1·CW+1,2·A+1,5·D
		29,817	-20,524*	-1,636	1,1·CW+1,2·A+1,5·(C+E)+1,3·H
		-6,000	-6,382	0,912*	1,1·CW+1,2·A+1,5·C
		47,404	-5,448	-6,795*	1,1·CW+1,2·A+1,5·(D+E)+1,3·H

0,50	2,342	44,088*	-8,709	-6,257	$1,1 \cdot CW+1,2 \cdot A+1,5 \cdot (D+E)+1,3 \cdot H$
		-9,085*	-6,789	1,032	$1,1 \cdot CW+1,2 \cdot A+1,5 \cdot C$
		15,695	8,839*	-4,126	$1,1 \cdot CW+1,2 \cdot A+1,5 \cdot D$
		19,309	-24,337*	-1,098	$1,1 \cdot CW+1,2 \cdot A+1,5 \cdot (C+E)+1,3 \cdot H$
		-9,085	-6,789	1,032*	$1,1 \cdot CW+1,2 \cdot A+1,5 \cdot C$
		44,088	-8,709	-6,257*	$1,1 \cdot CW+1,2 \cdot A+1,5 \cdot (D+E)+1,3 \cdot H$
0,60	2,811	39,244*	-11,971	-5,719	$1,1 \cdot CW+1,2 \cdot A+1,5 \cdot (D+E)+1,3 \cdot H$
		-12,361*	-7,196	1,152	$1,1 \cdot CW+1,2 \cdot A+1,5 \cdot C$
		19,869	8,983*	-4,006	$1,1 \cdot CW+1,2 \cdot A+1,5 \cdot D$
		7,014	-28,151*	-0,560	$1,1 \cdot CW+1,2 \cdot A+1,5 \cdot (C+E)+1,3 \cdot H$
		-12,361	-7,196	1,152*	$1,1 \cdot CW+1,2 \cdot A+1,5 \cdot C$
		39,244	-11,971	-5,719*	$1,1 \cdot CW+1,2 \cdot A+1,5 \cdot (D+E)+1,3 \cdot H$
0,70	3,279	32,872*	-15,233	-5,181	$1,1 \cdot CW+1,2 \cdot A+1,5 \cdot (D+E)+1,3 \cdot H$
		-15,827*	-7,604	1,273	$1,1 \cdot CW+1,2 \cdot A+1,5 \cdot C$
		24,111	9,127*	-3,886	$1,1 \cdot CW+1,2 \cdot A+1,5 \cdot D$
		-7,067	-31,964*	-0,023	$1,1 \cdot CW+1,2 \cdot A+1,5 \cdot (C+E)+1,3 \cdot H$
		-15,827	-7,604	1,273*	$1,1 \cdot CW+1,2 \cdot A+1,5 \cdot C$
		32,872	-15,233	-5,181*	$1,1 \cdot CW+1,2 \cdot A+1,5 \cdot (D+E)+1,3 \cdot H$
0,80	3,748	28,421*	9,272	-3,765	$1,1 \cdot CW+1,2 \cdot A+1,5 \cdot D$
		-22,935*	-35,778	0,515	$1,1 \cdot CW+1,2 \cdot A+1,5 \cdot (C+E)+1,3 \cdot H$
		28,421	9,272*	-3,765	$1,1 \cdot CW+1,2 \cdot A+1,5 \cdot D$
		-22,935	-35,778*	0,515	$1,1 \cdot CW+1,2 \cdot A+1,5 \cdot (C+E)+1,3 \cdot H$
		-19,485	-8,011	1,393*	$1,1 \cdot CW+1,2 \cdot A+1,5 \cdot C$
		24,971	-18,495	-4,643*	$1,1 \cdot CW+1,2 \cdot A+1,5 \cdot (D+E)+1,3 \cdot H$
0,90	4,216	32,798*	9,416	-3,645	$1,1 \cdot CW+1,2 \cdot A+1,5 \cdot D$
		-40,589*	-39,591	1,053	$1,1 \cdot CW+1,2 \cdot A+1,5 \cdot (C+E)+1,3 \cdot H$
		32,798	9,416*	-3,645	$1,1 \cdot CW+1,2 \cdot A+1,5 \cdot D$
		-22,228	-40,155*	-0,593	$1,1 \cdot CW+1,2 \cdot A+1,5 \cdot E+1,3 \cdot H$
		-23,333	-8,418	1,513*	$1,1 \cdot CW+1,2 \cdot A+1,5 \cdot C$
		15,542	-21,757	-4,105*	$1,1 \cdot CW+1,2 \cdot A+1,5 \cdot (D+E)+1,3 \cdot H$
1,00	4,685	37,243*	9,560	-3,525	$1,1 \cdot CW+1,2 \cdot A+1,5 \cdot D$
		-60,030*	-43,405	1,591	$1,1 \cdot CW+1,2 \cdot A+1,5 \cdot (C+E)+1,3 \cdot H$
		37,243	9,560*	-3,525	$1,1 \cdot CW+1,2 \cdot A+1,5 \cdot D$
		-42,068	-44,543*	-0,055	$1,1 \cdot CW+1,2 \cdot A+1,5 \cdot E+1,3 \cdot H$
		-27,373	-8,826	1,634*	$1,1 \cdot CW+1,2 \cdot A+1,5 \cdot C$
		4,585	-25,019	-3,567*	$1,1 \cdot CW+1,2 \cdot A+1,5 \cdot (D+E)+1,3 \cdot H$
1,00	4,685	37,243*	9,560	-3,525	$1,1 \cdot CW+1,2 \cdot A+1,5 \cdot D$
		-60,030*	-43,405	1,591	$1,1 \cdot CW+1,2 \cdot A+1,5 \cdot (C+E)+1,3 \cdot H$
		37,243	9,560*	-3,525	$1,1 \cdot CW+1,2 \cdot A+1,5 \cdot D$
		-42,068	-44,543*	-0,055	$1,1 \cdot CW+1,2 \cdot A+1,5 \cdot E+1,3 \cdot H$
		-27,373	-8,826	1,634*	$1,1 \cdot CW+1,2 \cdot A+1,5 \cdot C$
		4,585	-25,019	-3,567*	$1,1 \cdot CW+1,2 \cdot A+1,5 \cdot (D+E)+1,3 \cdot H$
0,00	0,000	63,829*	-0,666	-5,433	$1,1 \cdot CW+1,2 \cdot A+1,5 \cdot E+1,3 \cdot H$
1,00	4,685	-60,030*	-43,405	1,591	$1,1 \cdot CW+1,2 \cdot A+1,5 \cdot (C+E)+1,3 \cdot H$
1,00	4,685	-42,068	-44,543*	-0,055	$1,1 \cdot CW+1,2 \cdot A+1,5 \cdot E+1,3 \cdot H$
1,00	4,685	-27,373	-8,826	1,634*	$1,1 \cdot CW+1,2 \cdot A+1,5 \cdot C$
0,00	0,000	45,388	7,600	-8,946*	$1,1 \cdot CW+1,2 \cdot A+1,5 \cdot (D+E)+1,3 \cdot H$

* = Wartości ekstremalne

NAPRĘŻENIA W PRĘCIE nr 3: T.I rzędu
 Obciążenia obl.: "Kombinacja obciążeń"

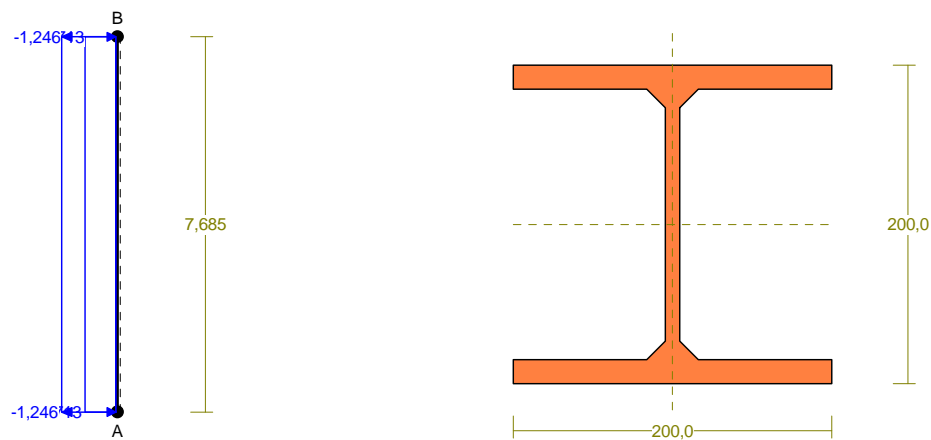
x/L:	x[m]:	SigmaG:	SigmaD:	Sigma:	Kombinacja obciążeń:
		----- Ro		[MPa]	
1,00	4,685	0,527* -0,329*		108,006 -67,479	$1,1 \cdot CW + 1,2 \cdot A + 1,5 \cdot (C+E) + 1,3 \cdot H$ $1,1 \cdot CW + 1,2 \cdot A + 1,5 \cdot D$
			0,323* -0,524*	66,169 -107,414	$1,1 \cdot CW + 1,2 \cdot A + 1,5 \cdot D$ $1,1 \cdot CW + 1,2 \cdot A + 1,5 \cdot (C+E) + 1,3 \cdot H$
1,00	4,685	0,527* -0,329*		108,006 -67,479	$1,1 \cdot CW + 1,2 \cdot A + 1,5 \cdot (C+E) + 1,3 \cdot H$ $1,1 \cdot CW + 1,2 \cdot A + 1,5 \cdot D$
			0,323* -0,524*	66,169 -107,414	$1,1 \cdot CW + 1,2 \cdot A + 1,5 \cdot D$ $1,1 \cdot CW + 1,2 \cdot A + 1,5 \cdot (C+E) + 1,3 \cdot H$
1,00	4,685	0,527* -0,329*		108,006 -67,479	$1,1 \cdot CW + 1,2 \cdot A + 1,5 \cdot (C+E) + 1,3 \cdot H$ $1,1 \cdot CW + 1,2 \cdot A + 1,5 \cdot D$
			0,323* -0,524*	66,169 -107,414	$1,1 \cdot CW + 1,2 \cdot A + 1,5 \cdot D$ $1,1 \cdot CW + 1,2 \cdot A + 1,5 \cdot (C+E) + 1,3 \cdot H$
1,00	4,685	0,527* -0,329*		108,006 -67,479	$1,1 \cdot CW + 1,2 \cdot A + 1,5 \cdot (C+E) + 1,3 \cdot H$ $1,1 \cdot CW + 1,2 \cdot A + 1,5 \cdot D$
			0,323* -0,524*	66,169 -107,414	$1,1 \cdot CW + 1,2 \cdot A + 1,5 \cdot D$ $1,1 \cdot CW + 1,2 \cdot A + 1,5 \cdot (C+E) + 1,3 \cdot H$
1,00	4,685	0,527* -0,329*		108,006 -67,479	$1,1 \cdot CW + 1,2 \cdot A + 1,5 \cdot (C+E) + 1,3 \cdot H$ $1,1 \cdot CW + 1,2 \cdot A + 1,5 \cdot D$
			0,323* -0,524*	66,169 -107,414	$1,1 \cdot CW + 1,2 \cdot A + 1,5 \cdot D$ $1,1 \cdot CW + 1,2 \cdot A + 1,5 \cdot (C+E) + 1,3 \cdot H$
1,00	4,685	0,527* -0,329*		108,006 -67,479	$1,1 \cdot CW + 1,2 \cdot A + 1,5 \cdot (C+E) + 1,3 \cdot H$ $1,1 \cdot CW + 1,2 \cdot A + 1,5 \cdot D$
			0,323* -0,524*	66,169 -107,414	$1,1 \cdot CW + 1,2 \cdot A + 1,5 \cdot D$ $1,1 \cdot CW + 1,2 \cdot A + 1,5 \cdot (C+E) + 1,3 \cdot H$
1,00	4,685	0,527* -0,329*		108,006 -67,479	$1,1 \cdot CW + 1,2 \cdot A + 1,5 \cdot (C+E) + 1,3 \cdot H$ $1,1 \cdot CW + 1,2 \cdot A + 1,5 \cdot D$
			0,323* -0,524*	66,169 -107,414	$1,1 \cdot CW + 1,2 \cdot A + 1,5 \cdot D$ $1,1 \cdot CW + 1,2 \cdot A + 1,5 \cdot (C+E) + 1,3 \cdot H$
1,00	4,685	0,527* -0,329*		108,006 -67,479	$1,1 \cdot CW + 1,2 \cdot A + 1,5 \cdot (C+E) + 1,3 \cdot H$ $1,1 \cdot CW + 1,2 \cdot A + 1,5 \cdot D$
			0,323* -0,524*	66,169 -107,414	$1,1 \cdot CW + 1,2 \cdot A + 1,5 \cdot D$ $1,1 \cdot CW + 1,2 \cdot A + 1,5 \cdot (C+E) + 1,3 \cdot H$
1,00	4,685	0,527* -0,329*		108,006 -67,479	$1,1 \cdot CW + 1,2 \cdot A + 1,5 \cdot (C+E) + 1,3 \cdot H$ $1,1 \cdot CW + 1,2 \cdot A + 1,5 \cdot D$
			0,323* -0,524*	66,169 -107,414	$1,1 \cdot CW + 1,2 \cdot A + 1,5 \cdot D$ $1,1 \cdot CW + 1,2 \cdot A + 1,5 \cdot (C+E) + 1,3 \cdot H$

1,00	4,685	0,527*	108,006	$1,1 \cdot CW + 1,2 \cdot A + 1,5 \cdot (C+E) + 1,3 \cdot H$
		-0,329*	-67,479	$1,1 \cdot CW + 1,2 \cdot A + 1,5 \cdot D$
		0,323*	66,169	$1,1 \cdot CW + 1,2 \cdot A + 1,5 \cdot D$
		-0,524*	-107,414	$1,1 \cdot CW + 1,2 \cdot A + 1,5 \cdot (C+E) + 1,3 \cdot H$

1,00	4,685	0,527*	108,006	$1,1 \cdot CW + 1,2 \cdot A + 1,5 \cdot (C+E) + 1,3 \cdot H$
0,00	0,000	-0,564*	-115,536	$1,1 \cdot CW + 1,2 \cdot A + 1,5 \cdot E + 1,3 \cdot H$
0,00	0,000	0,554*	113,516	$1,1 \cdot CW + 1,2 \cdot A + 1,5 \cdot E + 1,3 \cdot H$
1,00	4,685	-0,524*	-107,414	$1,1 \cdot CW + 1,2 \cdot A + 1,5 \cdot (C+E) + 1,3 \cdot H$

* = Wartości ekstremalne

PRĘT NR 4



DANE PRĘTA: ([m], [cm²], [cm⁴], [cm³], [MPa], [1/K])

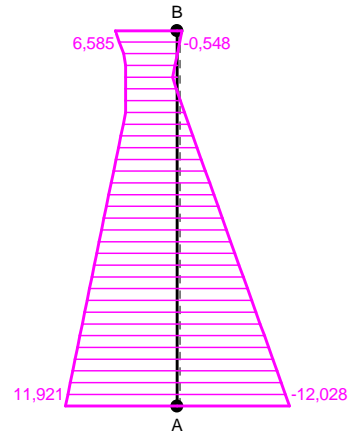
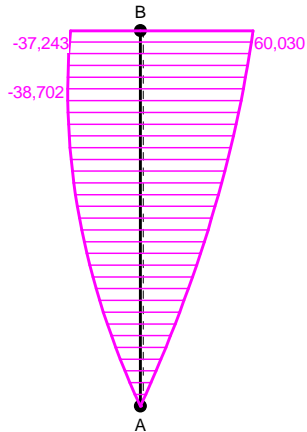
 GEOMETRIA PRĘTA: PRZEKRÓJ: 1
 Początek(A): 4 Koniec(B): 3 "I 200 HEB"
 Szttywne Szttywne MATERIAŁ: 66 St3S (X,Y,V,W)
 Długość: 7,685 Kat: 90,00
 Rzuty Imperfekcje
 H: 0,000 V: 7,685 wo/L= 0,0000 fo/L= 0,0000

OBCIĄŻENIA: ([kN], [kNm], [kN/m])

Pręt:	Rodzaj:	Kąt:	P1(Tg):	P2(Td):	a[m]:	b[m]:
Grupa: C	"Wiatr z lewej"			Zmienne	$\gamma_f = 1,50$	
4	Liniowe	90,0	0,713	0,713	0,00	7,68
Grupa: D	"Wiatr z prawej"			Zmienne	$\gamma_f = 1,50$	
4	Liniowe	90,0	-1,246	-1,246	0,00	7,68

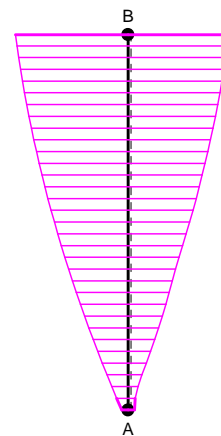
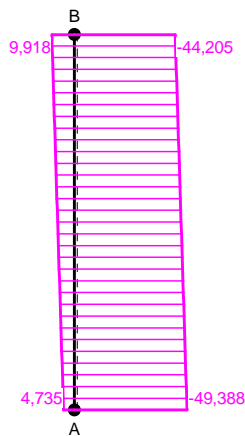
M

Q



N

Sigma



SIŁY PRZEKROJOWE W PRĘCIE nr 4: T.I rzędu
 Obciążenia obl.: "Kombinacja obciążeń"

x/L:	x[m]:	M[kNm]:	Q[kN]:	N[kN]:	Kombinacja obciążeń:
0,00	0,000	0,000*	-7,778	-29,582	$1,1 \cdot CW + 1,2 \cdot A + 1,5 \cdot (D+E) + 1,3 \cdot H$
		0,000*	11,921	-48,459	$1,1 \cdot CW + 1,2 \cdot A + 1,5 \cdot (C+E) + 1,3 \cdot H$
		0,000	11,921*	-48,459	$1,1 \cdot CW + 1,2 \cdot A + 1,5 \cdot (C+E) + 1,3 \cdot H$
		0,000	-12,028*	4,735	$1,1 \cdot CW + 1,2 \cdot A + 1,5 \cdot D$
		0,000	-12,028	4,735*	$1,1 \cdot CW + 1,2 \cdot A + 1,5 \cdot D$
		0,000	5,474	-49,388*	$1,1 \cdot CW + 1,2 \cdot A + 1,5 \cdot E + 1,3 \cdot H$
0,10	0,768	8,845*	11,099	-47,940	$1,1 \cdot CW + 1,2 \cdot A + 1,5 \cdot (C+E) + 1,3 \cdot H$
		-8,692*	-10,592	5,254	$1,1 \cdot CW + 1,2 \cdot A + 1,5 \cdot D$
		8,845	11,099*	-47,940	$1,1 \cdot CW + 1,2 \cdot A + 1,5 \cdot (C+E) + 1,3 \cdot H$
		-8,692	-10,592*	5,254	$1,1 \cdot CW + 1,2 \cdot A + 1,5 \cdot D$
		-8,692	-10,592	5,254*	$1,1 \cdot CW + 1,2 \cdot A + 1,5 \cdot D$
		4,207	5,474	-48,869*	$1,1 \cdot CW + 1,2 \cdot A + 1,5 \cdot E + 1,3 \cdot H$

0,20	1,537	17,059*	10,277	-47,422	$1,1 \cdot CW+1,2 \cdot A+1,5 \cdot (C+E)+1,3 \cdot H$
		-16,279*	-9,155	5,772	$1,1 \cdot CW+1,2 \cdot A+1,5 \cdot D$
		17,059	10,277*	-47,422	$1,1 \cdot CW+1,2 \cdot A+1,5 \cdot (C+E)+1,3 \cdot H$
		-16,279	-9,155*	5,772	$1,1 \cdot CW+1,2 \cdot A+1,5 \cdot D$
		-16,279	-9,155	5,772*	$1,1 \cdot CW+1,2 \cdot A+1,5 \cdot D$
		8,414	5,474	-48,351*	$1,1 \cdot CW+1,2 \cdot A+1,5 \cdot E+1,3 \cdot H$
0,30	2,305	24,641*	9,455	-46,904	$1,1 \cdot CW+1,2 \cdot A+1,5 \cdot (C+E)+1,3 \cdot H$
		-22,763*	-7,719	6,290	$1,1 \cdot CW+1,2 \cdot A+1,5 \cdot D$
		24,641	9,455*	-46,904	$1,1 \cdot CW+1,2 \cdot A+1,5 \cdot (C+E)+1,3 \cdot H$
		-22,763	-7,719*	6,290	$1,1 \cdot CW+1,2 \cdot A+1,5 \cdot D$
		-22,763	-7,719	6,290*	$1,1 \cdot CW+1,2 \cdot A+1,5 \cdot D$
		12,620	5,474	-47,833*	$1,1 \cdot CW+1,2 \cdot A+1,5 \cdot E+1,3 \cdot H$
0,40	3,074	31,592*	8,633	-46,385	$1,1 \cdot CW+1,2 \cdot A+1,5 \cdot (C+E)+1,3 \cdot H$
		-28,143*	-6,283	6,808	$1,1 \cdot CW+1,2 \cdot A+1,5 \cdot D$
		31,592	8,633*	-46,385	$1,1 \cdot CW+1,2 \cdot A+1,5 \cdot (C+E)+1,3 \cdot H$
		-28,143	-6,283*	6,808	$1,1 \cdot CW+1,2 \cdot A+1,5 \cdot D$
		-28,143	-6,283	6,808*	$1,1 \cdot CW+1,2 \cdot A+1,5 \cdot D$
		16,827	5,474	-47,315*	$1,1 \cdot CW+1,2 \cdot A+1,5 \cdot E+1,3 \cdot H$
0,50	3,842	37,911*	7,811	-45,867	$1,1 \cdot CW+1,2 \cdot A+1,5 \cdot (C+E)+1,3 \cdot H$
		-32,419*	-4,846	7,327	$1,1 \cdot CW+1,2 \cdot A+1,5 \cdot D$
		37,911	7,811*	-45,867	$1,1 \cdot CW+1,2 \cdot A+1,5 \cdot (C+E)+1,3 \cdot H$
		-32,419	-4,846*	7,327	$1,1 \cdot CW+1,2 \cdot A+1,5 \cdot D$
		-32,419	-4,846	7,327*	$1,1 \cdot CW+1,2 \cdot A+1,5 \cdot D$
		21,034	5,474	-46,796*	$1,1 \cdot CW+1,2 \cdot A+1,5 \cdot E+1,3 \cdot H$
0,60	4,611	43,598*	6,989	-45,349	$1,1 \cdot CW+1,2 \cdot A+1,5 \cdot (C+E)+1,3 \cdot H$
		-35,592*	-3,410	7,845	$1,1 \cdot CW+1,2 \cdot A+1,5 \cdot D$
		43,598	6,989*	-45,349	$1,1 \cdot CW+1,2 \cdot A+1,5 \cdot (C+E)+1,3 \cdot H$
		-35,592	-3,410*	7,845	$1,1 \cdot CW+1,2 \cdot A+1,5 \cdot D$
		-35,592	-3,410	7,845*	$1,1 \cdot CW+1,2 \cdot A+1,5 \cdot D$
		25,241	5,474	-46,278*	$1,1 \cdot CW+1,2 \cdot A+1,5 \cdot E+1,3 \cdot H$
0,70	5,379	48,653*	6,168	-44,831	$1,1 \cdot CW+1,2 \cdot A+1,5 \cdot (C+E)+1,3 \cdot H$
		-37,660*	-1,974	8,363	$1,1 \cdot CW+1,2 \cdot A+1,5 \cdot D$
		48,653	6,168*	-44,831	$1,1 \cdot CW+1,2 \cdot A+1,5 \cdot (C+E)+1,3 \cdot H$
		-37,660	-1,974*	8,363	$1,1 \cdot CW+1,2 \cdot A+1,5 \cdot D$
		-37,660	-1,974	8,363*	$1,1 \cdot CW+1,2 \cdot A+1,5 \cdot D$
		29,447	5,474	-45,760*	$1,1 \cdot CW+1,2 \cdot A+1,5 \cdot E+1,3 \cdot H$
0,80	6,148	53,077*	5,346	-44,312	$1,1 \cdot CW+1,2 \cdot A+1,5 \cdot (C+E)+1,3 \cdot H$
		-38,625*	-0,537	8,881	$1,1 \cdot CW+1,2 \cdot A+1,5 \cdot D$
		33,654	5,474*	-45,241	$1,1 \cdot CW+1,2 \cdot A+1,5 \cdot E+1,3 \cdot H$
		-38,625	-0,537*	8,881	$1,1 \cdot CW+1,2 \cdot A+1,5 \cdot D$
		-38,625	-0,537	8,881*	$1,1 \cdot CW+1,2 \cdot A+1,5 \cdot D$
		33,654	5,474	-45,241*	$1,1 \cdot CW+1,2 \cdot A+1,5 \cdot E+1,3 \cdot H$
0,90	6,917	56,870*	4,524	-43,794	$1,1 \cdot CW+1,2 \cdot A+1,5 \cdot (C+E)+1,3 \cdot H$
		-38,486*	0,899	9,400	$1,1 \cdot CW+1,2 \cdot A+1,5 \cdot D$
		37,861	5,474*	-44,723	$1,1 \cdot CW+1,2 \cdot A+1,5 \cdot E+1,3 \cdot H$
		27,478	0,274*	-9,477	$1,1 \cdot CW+1,2 \cdot A+1,5 \cdot C$
		-38,486	0,899	9,400*	$1,1 \cdot CW+1,2 \cdot A+1,5 \cdot D$
		37,861	5,474	-44,723*	$1,1 \cdot CW+1,2 \cdot A+1,5 \cdot E+1,3 \cdot H$
1,00	7,685	60,030*	3,702	-43,276	$1,1 \cdot CW+1,2 \cdot A+1,5 \cdot (C+E)+1,3 \cdot H$
		-37,243*	2,335	9,918	$1,1 \cdot CW+1,2 \cdot A+1,5 \cdot D$
		-4,585	6,585*	-24,399	$1,1 \cdot CW+1,2 \cdot A+1,5 \cdot (D+E)+1,3 \cdot H$
		27,373	-0,548*	-8,959	$1,1 \cdot CW+1,2 \cdot A+1,5 \cdot C$
		-37,243	2,335	9,918*	$1,1 \cdot CW+1,2 \cdot A+1,5 \cdot D$

		42,068	5,474	-44,205*	1,1·CW+1,2·A+1,5·E+1,3·H
1,00	7,685	60,030*	3,702	-43,276	1,1·CW+1,2·A+1,5·(C+E)+1,3·H
		-37,243*	2,335	9,918	1,1·CW+1,2·A+1,5·D
		-4,585	6,585*	-24,399	1,1·CW+1,2·A+1,5·(D+E)+1,3·H
		27,373	-0,548*	-8,959	1,1·CW+1,2·A+1,5·C
		-37,243	2,335	9,918*	1,1·CW+1,2·A+1,5·D
		42,068	5,474	-44,205*	1,1·CW+1,2·A+1,5·E+1,3·H

1,00	7,685	60,030*	3,702	-43,276	1,1·CW+1,2·A+1,5·(C+E)+1,3·H
0,81	6,244	-38,668*	-0,358	8,946	1,1·CW+1,2·A+1,5·D
0,00	0,000	0,000	-12,028*	4,735	1,1·CW+1,2·A+1,5·D
1,00	7,685	-37,243	2,335	9,918*	1,1·CW+1,2·A+1,5·D
0,00	0,000	0,000	5,474	-49,388*	1,1·CW+1,2·A+1,5·E+1,3·H

* = Wartości ekstremalne

NAPRĘŻENIA W PRĘCIE nr 4: T.I rzędu
 Obciążenia obl.: "Kombinacja obciążeń"

x/L:	x[m]:	SigmaG:	SigmaD:	Sigma:	Kombinacja obciążeń:
		----- Ro		[MPa]	
1,00	7,685	0,325*		66,609	1,1·CW+1,2·A+1,5·D
		-0,541*		-110,857	1,1·CW+1,2·A+1,5·(C+E)+1,3·H
			0,487*	99,775	1,1·CW+1,2·A+1,5·(C+E)+1,3·H
			-0,313*	-64,069	1,1·CW+1,2·A+1,5·D
1,00	7,685	0,325*		66,609	1,1·CW+1,2·A+1,5·D
		-0,541*		-110,857	1,1·CW+1,2·A+1,5·(C+E)+1,3·H
			0,487*	99,775	1,1·CW+1,2·A+1,5·(C+E)+1,3·H
			-0,313*	-64,069	1,1·CW+1,2·A+1,5·D
1,00	7,685	0,325*		66,609	1,1·CW+1,2·A+1,5·D
		-0,541*		-110,857	1,1·CW+1,2·A+1,5·(C+E)+1,3·H
			0,487*	99,775	1,1·CW+1,2·A+1,5·(C+E)+1,3·H
			-0,313*	-64,069	1,1·CW+1,2·A+1,5·D
1,00	7,685	0,325*		66,609	1,1·CW+1,2·A+1,5·D
		-0,541*		-110,857	1,1·CW+1,2·A+1,5·(C+E)+1,3·H
			0,487*	99,775	1,1·CW+1,2·A+1,5·(C+E)+1,3·H
			-0,313*	-64,069	1,1·CW+1,2·A+1,5·D
1,00	7,685	0,325*		66,609	1,1·CW+1,2·A+1,5·D
		-0,541*		-110,857	1,1·CW+1,2·A+1,5·(C+E)+1,3·H
			0,487*	99,775	1,1·CW+1,2·A+1,5·(C+E)+1,3·H
			-0,313*	-64,069	1,1·CW+1,2·A+1,5·D

1,00	7,685	0,325*	66,609	$1,1 \cdot CW + 1,2 \cdot A + 1,5 \cdot D$
		-0,541*	-110,857	$1,1 \cdot CW + 1,2 \cdot A + 1,5 \cdot (C+E) + 1,3 \cdot H$
			0,487*	99,775
			-0,313*	-64,069
1,00	7,685	0,325*	66,609	$1,1 \cdot CW + 1,2 \cdot A + 1,5 \cdot D$
		-0,541*	-110,857	$1,1 \cdot CW + 1,2 \cdot A + 1,5 \cdot (C+E) + 1,3 \cdot H$
			0,487*	99,775
			-0,313*	-64,069
1,00	7,685	0,325*	66,609	$1,1 \cdot CW + 1,2 \cdot A + 1,5 \cdot D$
		-0,541*	-110,857	$1,1 \cdot CW + 1,2 \cdot A + 1,5 \cdot (C+E) + 1,3 \cdot H$
			0,487*	99,775
			-0,313*	-64,069
1,00	7,685	0,325*	66,609	$1,1 \cdot CW + 1,2 \cdot A + 1,5 \cdot D$
		-0,541*	-110,857	$1,1 \cdot CW + 1,2 \cdot A + 1,5 \cdot (C+E) + 1,3 \cdot H$
			0,487*	99,775
			-0,313*	-64,069
0,81	6,244	0,337*	68,984	$1,1 \cdot CW + 1,2 \cdot A + 1,5 \cdot D$
1,00	7,685	-0,541*	-110,857	$1,1 \cdot CW + 1,2 \cdot A + 1,5 \cdot (C+E) + 1,3 \cdot H$
1,00	7,685		0,487*	99,775
0,81	6,244		-0,325*	-66,693

* = Wartości ekstremalne